



Isolation and Characterization of *Lactiplantibacillus plantarum* Bacteriocin from Fruit-based Fermented Products and its Comparison with Commercial Nisin

M. Noktehsanj Avval¹, M. Hosseininezhad^{2*}, A. Pahlavanlo³, H.B. Ghoddusi⁴

Received: 2021.12.13

Revised: 2022.02.08

Accepted: 2022.02.19

Available Online: 2022.05.15

How to cite this article:

Noktehsanj Avval, M., Hosseininezhad, M., Pahlavanlo, A., & Ghoddusi, H.B. (2023). Isolation and characterization of *Lactiplantibacillus plantarum* bacteriocin from fruit-based fermented products and its comparison with commercial nisin. *Iranian Food Science and Technology Research Journal*, 19(2), 311-331. <http://doi.org/10.22067/ifstrj.2022.74158.1122>

Introduction

Lactic acid bacteria (LAB) and their bacteriocins are widely used as natural and safe preservatives in food products, to control both pathogenic and spoilage microorganisms. This study aimed to isolate and identify LAB from several traditionally produced fermented fruits and vegetables from different parts of Iran, screening their potentials for producing bacteriocin-like substances production and evaluate their antimicrobial activities against various pathogens. The effect of heat treatment and different pH values on the stability of bacteriocins were also assessed and compared with commercial nisin for their possible application in the food industry as an alternative to chemical preservatives.

Materials and Methods

Lactic acid bacteria were isolated from several fermented products like hawthorn, mixed fruit pickles containing quince and apple, mango, and medlar. pickle, and the isolates were identified using phenotypic (physiological and biochemical) and genotypic (16S rDNA gene sequencing) methods followed by drawing phylogenetic tree based on the neighbor-joining method. The bacteriocins were prepared from the neutralized and cell-free supernatant (CFS). To precipitate the bacteriocins, ammonium sulfate (75%), potassium phosphate buffer, and methanol-chloroform were used, and extraction was completed with a high-speed centrifugecentrifugation. After freeze-drying, the precipitate was kept as crude bacteriocin. The bacteriocin activity was measured by the critical method, and the effect of heat, storage time and pH on the stability of bacteriocins was evaluated. The minimum inhibitory concentration (MIC) and the minimum inhibitory bactericidal concentration (MBC) of the examined bacteriocins were determined on against the pathogenic strains of *Escherichia coli* and *Staphylococcus aureus* and compared with commercial nisin.

Results and Discussion

In this research, from 162 isolated strains of LAB, four isolates (10A, S6, Sa, and Ab) were selected based on the highest amount of antimicrobial compounds and diameter of the inhibitory zone against pathogenic strains. then the isolates were identified as different strains of *Lactiplantibacillus plantarum* (previously classified as *Lactobacillus plantarum*). The phylogenetic position of the isolates was determined by drawing a phylogenetic tree. The drawn tree

1, 2 and 3- Ph.D. Student, Professor and Assistant Professor, Department of Food Biotechnology, Research Institute of Food Science and Technology, Mashhad, Iran, respectively.

(*- Corresponding author Email: m.hosseininezhad@rifst.ac.ir)

4- Head, Microbiology Research Unit (MRU), Food Science (MSc), Course Leader School of Human Sciences, London Metropolitan University, London, UK

DOI: [10.22067/ifstrj.2022.74158.1122](https://doi.org/10.22067/ifstrj.2022.74158.1122)

consists of two clusters and the first cluster consist of two sub-clusters, with two different strains of *L. plantarum* in each of them. In the next step, bacteriocin of the isolates was extracted using saturated ammonium sulfate and high-speed (23000g) centrifugingcentrifugation. Partially purified bacteriocins from different species showed high inhibitory effects on tested indicators, which were estimated, for *L. plantarum* 3360 (10A) and *L. plantarum* lb51 (Ab), 64000 AU/ml against *Staphylococcus aureus* and *Escherichia coli*. All selected bacteriocins indicated a stable effect at different temperatures of 60 and 121°C for 20 min and 4 and -20°C for 6 months, this effect was the examined bacteriocins were also stable against at acidic and alkaline pHs too. Also, the inhibitory property decreased under very acidic (pH < 3) and very alkaline (pH > 8) conditions, but this reduction was not significant at the 95% confidence level. Bacteriocins with 64000 AU/mL activity had higher antimicrobial properties against the pathogens compared to an equal amount of commercial NiseenNisin-S (680 AU/mL). The results of MIC and MBC showed that isolates 10A and Ab have the highest inhibitory properties compared to other extracted bacteriocins and/or nisin. Since heat and chemical preservatives are used in food preparation, the stability of bacteriocins against heat and different pH is important, therefore, after extraction and purification, the extracted bacteriocins can be used as a biological preservative in the production of various food products in the range of acidic and alkaline pH, including juices, meat products, and sauces. Encapsulation of these peptides and their application in food products needs further investigation.

Keywords: Bacteriocin, *Lactiplantibacillus plantarum*, Phylogenetic tree, Sequencing

مقاله پژوهشی

جداسازی و تعیین ویژگی باکتریوسین حاصل از باکتری لاکتی پلانتهی باسیلوس پلانتاروم جدا شده از فراورده‌های تخمیری بر پایه میوه و مقایسه با نایسین تجاری

مهسا نکته سنج اول^۱ - مرضیه حسینی نژاد^{۲*} - ابوالفضل پهلوانلو^۳ - حمید بهادر قدوسی^۴

تاریخ دریافت: ۱۴۰۰/۰۹/۲۲

تاریخ بازنگری: ۱۴۰۰/۱۱/۱۹

تاریخ پذیرش: ۱۴۰۰/۱۱/۳۰

چکیده

در این پژوهش باکتری‌های اسید لاکتیک از چندین فراورده تخمیری بر پایه میوه (شامل فراورده تخمیری زالزالک، مخلوط میوه به و سیب ترش تخمیری، انبه تخمیری و ازگیل تخمیری)، جداسازی و از نظر ویژگی ضد میکروبی و تولید باکتریوسین مورد ارزیابی قرار گرفتند. بعد از انجام آزمون‌های فنوتیپی، بیوشیمیایی و فیزیولوژیکی، از مجموع ۱۶۲ سویه جدا شده، چهار سویه اسید لاکتیک، با تولید بیشترین مقدار باکتریوسین بر مبنای قطر هاله بازدارندگی جداسازی و با استفاده از روش تعیین توالی 16S rDNA به‌عنوان سویه‌های مختلف لاکتی پلانتهی باسیلوس پلانتاروم شناسایی شدند. باکتریوسین‌های سویه‌های انتخابی که با کمک آمونیم سولفات استخراج و بطور نسبی خالص‌سازی گردیدند قابلیت ممانعت‌کنندگی از رشد، در برابر شاخص‌های استافیلوکوکوس اورئوس، اشریشیا کلی، سالمونلا تایفی موریوم و لیستریا مونوسایتوژنز از خود نشان دادند. فعالیت ضد میکروبی باکتریوسین‌های هر چهار سویه در حرارت‌های ۶۰ و ۱۲۱ درجه سانتی‌گراد به مدت ۲۰ دقیقه پایدار بود و این ویژگی در دماهای ۴ و ۲۰- درجه سانتی‌گراد به مدت ۶ ماه حفظ شد. پایداری قدرت بازدارندگی در محدوده pH (۸-۳) با کاهش معنی‌دار ($p < 0.05$) در pH‌های پایین‌تر از ۳ و بالاتر از ۸ گزارش گردید. میانگین MIC باکتریوسین‌ها، تفاوت معنی‌داری با یکدیگر و با نایسین در رقت ۶۸۰ Au/ml داشت ($p < 0.05$) و باکتری استافیلوکوکوس اورئوس حساسیت بیشتری از اشریشیا کلی در برابر باکتریوسین‌ها از خود نشان داد. باکتریوسین‌های تخلیص شده در مقایسه با نایسین تجاری، قدرت ضد میکروبی بالاتری در برابر سویه‌های بیماری‌زای مورد بررسی داشتند. از آنجایی که در فرایند تولید و فرآوری محصولات غذایی حرارت و pH به‌عنوان دو عامل کلیدی هستند، پایداری ویژگی ضد میکروبی باکتریوسین در برابر حرارت و pH‌های مختلف قابلیت استفاده این ترکیبات زیستی به‌عنوان نگهدارنده ایمن در فراورده‌های مختلف و امکان جایگزینی نایسین با ترکیبات باکتریوسین تخلیص شده را نشان می‌دهد. پژوهش در خصوص ریزپوشانی و بکارگیری باکتریوسین‌های استحصالی در فراورده‌های غذایی ادامه دارد.

واژه‌های کلیدی: باکتریوسین، توالی‌یابی، درخت فیلوژنتیکی، لاکتی پلانتهی باسیلوس پلانتاروم

۱، ۲ و ۳- به ترتیب دانش‌آموخته دکتری، استاد و استادیار گروه زیست‌فناوری مواد غذایی، مؤسسه پژوهشی علوم و صنایع غذایی، مشهد، ایران
(*- نویسنده مسئول: (Email: m.hosseininezhad@rifst.ac.ir)

۴- دانشیار، واحد تحقیقات میکروبیولوژی (MRU)، دانشکده علوم انسانی، دانشگاه متروپولیتن لندن، لندن، انگلستان

مقدمه

از زمان‌های کهن، تخمیر به‌عنوان یک روش آسان و کاربردی برای جلوگیری از فساد سبزی‌ها و میوه‌ها جهت بهبود خواص تغذیه‌ای و ویژگی‌های حسی این فراورده‌ها مورد استفاده قرار می‌گرفته است (Ashtiani et al., 2020). فراورده‌های تخمیری بر پایه میوه و سبزی عمدتاً حاوی گروه متنوعی از باکتری‌های اسیدلاکتیک هستند که علاوه بر بهبود هضم و افزایش مقدار ویتامین‌ها، قابلیت تولید ترکیبات ضد میکروبی را داشته و نقش بی‌بدیلی در تثبیت جمعیت میکروبی مفید روده دارند (Grosu-Tudor and Zamfir, 2011). مهم‌ترین جنس‌های باکتری‌های اسید لاکتیک (LAB) شامل لاکتوباسیلوس، لاکتوکوکوس، استرپتوکوکوس، انتروکوکوس و اسپورولاکتوباسیلوس می‌باشند (Rodríguez et al., 2012). یکی از گونه‌های باکتری‌های اسید لاکتیک، ساپروفیتی به نام لاکتی پلاننتی باسیلوس پلاننتاروم است (Singh and Sethi, 2018) که در تولید فراورده‌های تخمیری مانند گوشت و فراورده‌های گوشتی (Garriga et al., 1993)، نوشیدنی‌های تخمیری (Navarro et al., 2000)، خمیر ترش (Todorov et al., 1999)، پنیر (Gonzalez et al., 1994)، خیار تخمیر شده و زیتون (Jiménez-Díaz et al., 1993)، آناناس و عصاره گریپ فروت (Kelly et al., 1996) و بسیاری از منابع غذایی دیگر نقش عمده‌ای دارد. این باکتری که در گذشته لاکتو باسیلوس پلاننتاروم نامیده می‌شد (Zheng et al., 2020)، به عنوان آغازگر کشت در تهیه بسیاری از فراورده‌های تخمیری مورد استفاده قرار می‌گیرد.

بسیاری از سویه‌های لاکتی پلاننتی باسیلوس پلاننتاروم مواد ضد-میکروبی بنام باکتریوسین تولید می‌کنند (Blana et al., 2014). باکتریوسین‌ها دارای خواص فراسودمند بسیاری از جمله سمیت پایین، قابلیت بازدارندگی از رشد سویه‌های بیماری‌زا در هر دو طیف زنجیره پپتیدی کوتاه (با تعداد اسید آمینه کم) و زنجیره بلند، قابلیت تولید توسط گونه‌های مختلفی از باکتری‌های اسید لاکتیک بوده و به‌عنوان جایگزینی نسبت به آنتی‌بیوتیک‌ها و نگهدارنده‌های شیمیایی شناخته شده‌اند (Noktehsanj Hosseinezhad and Yazdi, 2016). این ترکیبات ضد میکروبی به‌عنوان پپتیدهای زیست فعال ریبوزومی با افزایش نفوذپذیری غشای سیتوپلاسمی سلول‌های هدف، انتشار ذرات کوچک سیتوپلاسمی، دیپلاریزاسیون پتانسیل غشایی، ایجاد نیروی حرکتی پروتون جهت تشکیل منفذ در دیواره سلولی، غیر فعال‌سازی لیپید II، از بین بردن پتانسیل غشایی و کاهش غلظت ATP درون سلولی باعث مرگ سلول هدف می‌شوند (Zheng et al., 2020).

باکتریوسین‌های تولید شده توسط باکتری‌های اسیدلاکتیک بدلیل القاء ویژگی بازدارندگی در برابر میکروارگانیسم‌های بیماری‌زا و عوامل فساد در مواد غذایی و بدلیل امکان استفاده بالقوه در حفظ و نگهداری مواد غذایی به‌عنوان نگهدارنده بیولوژیک طبیعی و ایمن توجه پژوهشگران را به خود جلب کرده است (Gálvez et al., 2007). از دیگر سو نگرانی‌های اخیر ایجاد شده در حوزه پزشکی به‌دلیل ایجاد مقاومت آنتی‌بیوتیکی در برابر بسیاری از سویه‌های بیماری‌زا، سبب شده تا استفاده از باکتریوسین‌ها در حوزه سلامت، به‌عنوان جایگزینی برای آنتی‌بیوتیک‌ها و خصوصاً از بین بردن باکتری‌های بیماری‌زا اهمیت پیدا کند (Calo-Mata et al., 2008). به‌طور کلی باکتریوسین‌های جدا شده از لاکتی پلاننتی باسیلوس پلاننتاروم پلاننتارین نامیده می‌شوند (Chen et al., 2018). که اکثر آن‌ها مانند پلاننتارین (Tiwari and Srivastava, 2008) LR14 و پلاننتارین SR18 (El-Shouny et al., 2020) فعالیت مهارتی زیادی علیه سویه‌های بیماری‌زا نظیر لیستریا مونوسیتوژنز نشان می‌دهند. باکتریوسین‌های استخراج شده از لاکتوباسیلوس‌ها، به‌دلیل حفظ ویژگی مهارتی در برابر فرایندهای مختلف حرارتی، اسیدی، قلیایی و همچنین طیف وسیعی از بیماری‌زاهای گرم مثبت و منفی قابلیت کاربرد به‌عنوان متابولیت‌های ضد میکروبی طبیعی در فراورده‌های غذایی و دارویی دارند (Alizadeh Behbahani et al., 2021).

بررسی منابع متعدد نشان داد که تاکنون تمرکز اکثر پژوهش‌ها در ارتباط با جداسازی سویه‌های تولیدکننده باکتریوسین از فراورده‌های لبنی بوده و در زمینه فراورده‌های تخمیری بر پایه میوه و سبزی پژوهش‌های کمتری صورت گرفته است. همچنین در پژوهش‌های پیشین بیشتر به جداسازی سویه‌های اسیدلاکتیک تولیدکننده باکتریوسین پرداخته شده است در حالی که جداسازی و خالص‌سازی باکتریوسین به‌عنوان یک موضوع جدید طی چند سال گذشته مورد بحث و توجه است. تاکنون جداسازی و خالص‌سازی باکتریوسین از تعداد اندکی از فراورده‌های تخمیری بر پایه میوه نظیر آناناس و عصاره گریپ فروت تخمیری (Kelly et al., 1996)، ترشی کلم پیچ (Xiang et al., 2021)، زغال اخته تخمیر شده (Szutowska et al., 2021) و ترشی میوه انجیر هیمالیا (Kumari et al., 2018) صورت پذیرفته است، علاوه بر این در مورد لاکتی پلاننتی باسیلوس پلاننتاروم و سایر باکتری‌های اسید لاکتیک بیشتر به ویژگی ضد-میکروبی آنها در مورد سویه‌های هم نوع خود (باکتری‌های گرم مثبت) و همچنین ویژگی ضد لیستریایی بعضی از آن‌ها پرداخته شده و ویژگی ضد میکروبی سایر بیماری‌زاهای گرم منفی چندان مورد بررسی واقع نشده است. در این پژوهش علاوه بر سویه‌های گرم مثبت، اثر

ظاهری انتخاب گردد و کپک و مخمر احتمالی موجود در نمونه از بین برود سپس جهت رشد کلنی‌ها پلیت‌ها در دمای °C ۳۷، تحت شرایط کاملاً بی‌هوازی به مدت ۴۸-۲۴ ساعت گرمخانه‌گذاری شدند (Ahn *et al.*, 2017; Attar *et al.*, 2081).

تعیین ویژگی آنتاگونیستی سویه‌ها علیه باکتری‌های شاخص

این آزمون با روش کشت نقطه‌ای بر روی آگار (Agar spot) و کشت دو لایه انجام گردید. بدین منظور جدایه‌ها در محیط MRS براث در دمای °C ۳۷ به مدت ۱۸ ساعت گرمخانه‌گذاری شدند، سپس ۲ میکرولیتر از این محیط بر روی محیط کشت مولر هینتون آگار به روش Agar spot کشت شد. بعد از ۲۴ ساعت گرمخانه‌گذاری در دمای ۳۷ درجه سانتی‌گراد و رویش کلنی‌ها، محیط کشت مولر هینتون با آگار نرم (۸٪) درصد) که با باکتری شاخص با دوز ۱۰^۸ CFU/mL تلقیح شده بود بر روی محیط قبلی اضافه گردید و به مدت ۲۴ ساعت دیگر جهت بررسی ویژگی بازدارندگی و اندازه‌گیری هاله عدم رشد، در ۳۷ درجه سانتی‌گراد گرمخانه‌گذاری شد (Fagundes *et al.*, 2017).

شناسایی باکتری‌های LAB بر مبنای آزمایش‌های فنوتیپی، فیزیولوژیکی و بیوشیمیایی

به منظور شناسایی اولیه جدایه‌ها آزمایش‌های رنگ آمیزی گرم، تست کاتالاز و ایندول طبق روش (Hwanhlem *et al.*, 2017)، آزمون تولید گاز از گلوکز در محیط کشت MRS براث حاوی لوله دورهام و گلوکز به روش (Ahn *et al.*, 2017)، آزمون توانایی رشد سویه‌های اسید لاکتیک در pH های (۲، ۴ و ۶/۵ تنظیم شده با اسید کلریدریک یک مولار)، آزمایش رشد در دماهای مختلف (۱۵ و ۴۵ درجه سانتی‌گراد) و توانایی رشد در غلظت‌های مختلف نمک (۲، ۴ و ۶/۵ درصد) به روش (Ebrahimi *et al.*, 2016) انجام شد. آزمون تخمیر کربوهیدرات‌ها، با استفاده از محیط کشت پایه MRS براث بدون گلوکز و عصاره گوشت گاو^۲ با غلظت کلروفنل رد ۰/۰۴ درصد تهیه و پس از انجام آزمایش، نتایج تخمیر کربوهیدرات‌ها با جدول استاندارد برگی مقایسه شد. قندهای ساکارز، گلوکز، لاکتوز، آرابینوز، مانیتول، زایلوز، گالاکتوز، مالتوز و فروکتوز مورد استفاده قرار گرفتند (Ebrahimi *et al.*, 2016).

انگشت نگاری ژنومی (RAPD)^۳

باکتریوسین‌های استخراج شده از فراورده‌های بومی بر چند سویه گرم منفی نیز بررسی شده است.

پژوهش حاضر که با هدف بهره‌گیری از منابع اولیه جدید بر پایه فراورده‌های تخمیری غیر لبنی، عمدتاً فراورده تخمیری بر پایه میوه برای جداسازی سویه‌های اسید لاکتیک تولیدکننده باکتریوسین صورت گرفته، سعی دارد پس از جداسازی و خالص سازی نسبی باکتریوسین با نمونه‌های تجاری مشابه مانند نایسین که طی سالیان متمادی در تولید و نگهداری انواع محصولات غذایی (لبنی و غیر لبنی) کاربرد داشته است مقایسه گردد. همچنین کارایی ضد میکروبی باکتریوسین استحصالی برای از بین بردن هر دو طیف باکتری‌های گرم منفی و گرم مثبت، در دماها و pH های مختلف و مدت زمان نگهداری در دمای انجماد و یخچالی مورد ارزیابی قرار گیرد.

مواد و روش‌ها

مواد خام و سویه‌های استفاده شده

محیط‌های کشت استفاده شده در این پژوهش شامل MRS^۱ براث، MRS آگار، مولر هینتون براث، مولر هینتون آگار و آگار-آگار از شرکت شارلو فرانسه و مرک آلمان، کربوهیدرات‌های گلوکز، ساکارز، لاکتوز، آرابینوز، مانیتول، زایلوز، گالاکتوز، مالتوز، فروکتوز از شرکت‌های داخلی و سیگما آلدریج، پرایمرها و مستر میکس به ترتیب از شرکت‌های سیناکلون و دنازیست، سویه‌های بیماری‌زا شامل، لیستریا مونوسیتوجنز PTCC ۱۱۶۵، اشریشیا کلی ATCC ۲۵۹۲۳، سالمونلا انتریکا سرووار تایفی موربوم PTCC ۱۶۰۹، استافیلوکوکوس اورئوس ATCC ۲۵۹۲۲ و لاکتوباسیلوس رئوتری به عنوان سویه تولید کننده باکتریوسین و سویه کنترل مثبت، از آزمایشگاه میکروبی موسسه پژوهشی علوم و صنایع غذایی (RIFST)، فراورده‌های تخمیری بر پایه میوه، مخلوط میوه تخمیری حاوی به و سیب ترش، فراورده تخمیری زلالک، انبه و ازگیل، که بومی ایران بودند از بازارهای محلی و نایسین تجاری S - Niseen از شرکت (Siveele) هلند خریداری شدند.

جداسازی سویه‌های اسید لاکتیک بومی

جهت جداسازی سویه‌های اسید لاکتیک از فراورده‌های تخمیری بر پایه میوه مقدار ۱۰ گرم از هر یک از نمونه‌ها در ۹۰ میلی‌لیتر از پیتون واتر استریل همگن و بعد از تهیه رقت‌های متوالی، کشت سطحی بر روی محیط کشت MRS آگار حاوی بتا هگزامید و سیکلودکسترین انجام شد تا کلنی‌های متفاوت از نظر ویژگی‌های

2- Beef extract

3- Random amplification of polymorphic DNA

1- De Man, Rogosa and Sharpe

درخت فیلوژنتیکی با استفاده از توالی‌های جدایه‌ها و توالی سویه‌های مرجع از NCBI به دست آمد بر اساس روش آماری و neighbor-joining و با نرخ خود راه انداز ۱۰۰۰۲ تکرار رسم و از *اشریشیا کلی* به‌عنوان برون از گروه^۳ استفاده گردید. این درخت موقعیت فیلوژنتیکی جدایه‌های بدست آمده از نمونه‌های نام برده شده در قسمت جمع‌آوری نمونه را نسبت به هم نشان می‌دهد (Schliep, 2011).

خالص‌سازی نسبی باکتریوسین

پس از تلقیح جدایه‌ها در محیط کشت MRS برات، به مدت ۴۸ ساعت در گرمخانه ۳۵ درجه‌سانتی‌گراد قرار داده شدند. به منظور کاهش فعالیت مهاره‌های اسیدهای آلی تولید شده در محیط، سوپرناتانت عاری از سلول به کمک سود ۱۰N، خنثی و در محدوده ۶/۵-۷ pH تنظیم گردید. برای خنثی شدن اثر آب اکسیژنه، آنزیم کاتالاز با غلظت ۲ میلی‌گرم بر میلی‌لیتر به سوپرناتانت عاری از سلول اضافه شد. ترکیبات باکتریوسینی با استفاده از سولفات آمونیوم ۷۵ درصد ترسیب داده شده و ۲۴ ساعت در دمای ۴ درجه سانتی‌گراد برای رسوب دهی بیشتر باکتریوسین همگن شد. در مرحله بعد یک ساعت با دور ۲۳۰۰۰g در دمای ۴ درجه سانتی‌گراد سانتریفیوژ گردید، به رسوب حاصله بافر فسفات پتاسیم با ۷ pH به نسبت ۱:۱ و محلول متانول - کلروفرم به نسبت ۲ به ۱ باکتریوسین ته نشین شده اضافه و بعد از یک ساعت سانتریفیوژ با تنظیمات قبلی، در آب دو بار تقطیر استریل حل و دوباره سانتریفیوژ گردید (Shokri et al., 2013).

سنجش تیتراژ یا عیار باکتریوسین خام

این آزمایش با استفاده از روش کریتیکال^۴ انجام گرفت، بدین ترتیب که بعد از تهیه محیط‌های کشت MRS برات و تلقیح جدایه‌ها در آن، به مدت ۴۸ ساعت در دمای ۳۵ درجه‌سانتی‌گراد گرمخانه-گذاری شدند، به منظور کاهش فعالیت مهاره‌های اسیدهای آلی تولید شده توسط سویه‌های اسیدلاکتیک، pH سوپرناتانت به کمک سود ۱۰N، خنثی و در محدوده ۶/۵-۷ تنظیم گردید. برای خنثی شدن اثر آب اکسیژنه، از آنزیم کاتالاز به غلظت ۲ میلی‌گرم بر میلی‌لیتر به سوپرناتانت عاری از سلول اضافه شد و به مدت ۴۸ ساعت در دستگاه فریز درایر R-114 / Operon (Korea) جهت تغلیظ قرار گرفت. درون میکروتیوپ‌های استریل از سوپرناتانت تغلیظ شده رقت ۱۰^{-۱} تا ۱۰^{-۱۲} تهیه گردید و بعد از کشت چمنی سویه‌های شاخص در محیط MHA، با رقت نیم مک فارلند، چاهک‌ها ایجاد شدند. بعد از

این آزمون بر اساس توالی‌های تکراری ژنومی با استفاده از تکنیک RAPD انجام گردید. جهت تکثیر ژنوم جدایه‌ها، از پرایمر GTG (M13) تهیه شده از شرکت سیناکلون استفاده و محصول واکنش بر روی الکتروفورز با ژل ۱/۵ درصد تفکیک و در زیر دستگاه ژلداک مشاهده گردید بهینه سازی واکنش در حجم کلی ۲۵ میکرولیتر حاوی ۱۲/۵ میکرولیتر از مستر میکس آماده ۲X آمپلیکون (دنازیست)، ۱/۵ میکرولیتر پرایمر GTG- M13 (دنازیست) و ۱/۵ میکرولیتر DNA هدف در دستگاه ترموسایکلر (BIO- RAD، U.S.A) انجام گردید (Tafvizi et al., 2012).

آنالیز پروفایل‌های بانندی حاصل از PCR - rep

بعد از بدست آمدن پروفایل‌های بانندی برای هر گونه، وجود یا عدم وجود باند در هر ردیف با کدهای یک و صفر (کدهای اسکی یا binary) در نرم‌افزار Excel مشخص گردید و سپس با انتقال این کدها و اعداد از نرم‌افزار Excel به نرم‌افزار 'MVSP ver.3.1'، میزان شباهت الگوها با استفاده از ضریب Simple Matching Coefficient بیان گردید (Tafvizi et al., 2012).

شناسایی تکمیلی باکتری‌های LAB بر مبنای آنالیز توالی قطعه rDNA ۱۶S (PCR)

توالی‌یابی و شناسایی دقیق ایزوله‌ها به روش مولکولی و تکثیر ژن rDNA ۱۶S که بر اساس نواحی محافظت شده این ژن عمل می‌کند، انجام گردید. واکنش در یک مخلوط ۲۰ میکرولیتری در دستگاه ترموسایکلر (BIO- RAD، آمریکا) با استفاده از پرایمرهای عمومی F: P8FPL با توالی AGTTTGATCCTGGCTCAG و R: p8806R با توالی GGACTACCAGGTATCTAAT انجام شد (Ferchichi et al., 2007). بعد از انجام PCR و مشاهده الگوی بانندی مناسب در الکتروفورز محصولات PCR برای توالی‌یابی به شرکت ژن فن آوران (تهران) ارسال شدند، توالی‌یابی به وسیله Cycle extention در دستگاه توالی‌کننده API 373 DNA Sequencer (آمریکا) با استفاده از پرایمر پیشرو P8FPL انجام و توالی‌های بدست آمده با توالی‌های اطلاعاتی موجود در Gen Bank با کمک برنامه Blast در پایگاه NCBI (Cotter et al., 2012) آدرس <http://www.ncbi.nlm.nih.gov> مقایسه گردید.

درخت فیلوژنتیکی

- 2- Bootstrap
- 3- Outgroup
- 4- Critical Method

- 1- MultiVariate Statistical Package

و معادل کدورت نیم مک فارلند باکتری به تمامی چاهک‌ها به استثنای چاهک کنترل منفی (حاوی باکتریوسین و محیط کشت) اضافه گردید، بعد از ۳۰ ثانیه یکنواخت سازی روی شیکر جذب نوری با استفاده از دستگاه الیزاریدر (chromTech، آلمان) در ساعت صفر و در طول موج ۶۲۰ نانومتر خوانده شد و بعد از ۲۴ ساعت گرمخانه-گذاری در دمای ۳۵ درجه سانتی‌گراد مجدداً با دستگاه الیزاریدر میزان کدورت خوانده شد. کمترین غلظتی که کدورت نداشت و رشد باکتری در آن مشاهده نشد بعنوان MIC گزارش گردید. جهت انجام تست MBC که بیانگر حداقل غلظت کشندگی هست از چاهک‌های فاقد کدورت (غلظت MIC و بیشتر از آن) مقدار ۱۰ میکرولیتر بر روی محیط کشت مولر هینتون آگار تلقیح شده با شاخص‌های استافیلوکوکوس اورئوس و اشریشیا کلی با رقت ۱۰^۶، کشت داده شد، بعد از ۲۴ ساعت گرمخانه‌گذاری در دمای ۳۵ درجه سانتی‌گراد، کمترین رقتی که ۹۹/۹ درصد باکتری‌ها را از بین برده بود به عنوان رقت MBC در نظر گرفته شد (Thomas and Delves- Broughton, 2005).

آنالیز آماری

تمامی آزمون‌ها به غیر از شناسایی مولکولی میکروارگانیسم‌ها، سه تکرار در قالب طرح کاملاً تصادفی انجام شده است. تجزیه و تحلیل داده‌ها (ANOVA) با استفاده از مدل (۲F1) نرم افزار آماری SPSS (ویرایش ۱۶) در سطح احتمال ۹۵ درصد ($p < 0.05$) و آزمون توکی (tukey) برای تایید وجود اختلاف بین میانگین‌ها انجام گرفت (Miraei Ashtiani et al., 2022).

نتایج و بحث

جمع‌آوری نمونه و جداسازی سویه‌ها

در این بررسی از فراورده‌های تخمیری کمتر شناخته شده بر پایه میوه شامل ترشی مخلوط میوه‌های به و سیب ترش، فراورده تخمیری زالزالک، ترشی انبه و ترشی ازگیل که بجز انبه بقیه محصولات بومی ایران و از استان‌های مختلف تهیه شده بودند، استفاده گردید، در مجموع ۱۶۲ جدایه اسید لاکتیک پس از انجام آزمون‌های فنوتیپی و بیوشیمیایی شناسایی شدند که در مقایسه با جدول برگی ۷۰٪ از گروه لاکتوباسیلوس‌های هتروفرمانتاتیو اختیاری و به‌عنوان لاکتی پلاتنی باسیلوس پلانتاروم و ۱۰٪ جدایه‌ها از گروه لاکتوباسیلوس‌های هوموفرمانتاتیو اختیاری- اجباری به عنوان لاکتوباسیلوس اسیدوفیلوس و ۱۰٪ جدایه‌ها بصورت ناشناخته باقی ماندند. از بین سویه‌های شناخته شده، جدایه‌های با کدهای Ab- جدا شده از ترشی ازگیل، Sa- از فراورده تخمیری زالزالک، S6- از ترشی انبه و ۱۰A-

بارگذاری ۸۰ میکرولیتر از هر رقت درون چاهک‌ها، جهت انتشار بهتر، پلیت‌ها به مدت نیم ساعت در یخچال قرار گرفته و بعد از ۱۸ ساعت گرمخانه‌گذاری در دمای ۳۰ درجه سانتی‌گراد، از نظر هاله عدم رشد بررسی و با فرمول زیر محاسبه شدند (Ashari et al., 2019)

$$AU/mL = 2^n (1000 \div 80) \quad (1)$$

n: شماره آخرین چاهکی است که هاله رویت می‌گردد.

بررسی اثر حرارت، زمان و pH بر فعالیت باکتریوسین تولیدی

باکتریوسین‌های خالص شده از سویه‌های مختلف در معرض تیمار حرارتی ۶۰ و ۱۲۱ درجه سانتی‌گراد به مدت ۲۰ دقیقه قرار گرفتند، سپس از نظر ویژگی بازدارندگی بررسی شدند (Udhayashree et al., 2012).

جهت بررسی اثر مدت زمان نگهداری باکتریوسین استحصال شده در دمای ۴ و ۲۰- درجه سانتی‌گراد به مدت ۶ ماه تحت شرایط استریل در یخچال و فریزر نگهداری و از نظر ویژگی بازدارندگی بررسی شدند (Udhayashree et al., 2012).

به‌منظور بررسی اثر pH، باکتریوسین‌های خالص شده از سویه‌های مختلف با استفاده از NaOH و HCl ۵ مولار در معرض pH-های مختلف (۱۰-۲) قرار گرفتند و بعد از ۲ ساعت گرمخانه‌گذاری در دمای اتاق به pH = ۷ تنظیم و از نظر ویژگی بازدارندگی با آزمایش چاهک‌گذاری در محیط مولر هینتون آگار بررسی شدند (Udhayashree et al., 2012).

مقایسه باکتریوسین‌های استخراج شده با نایسین تجاری با آزمون MIC^۱ و MBC^۲

نایسین تجاری S - Niseen (Siveele)، با غلظت ppm ۱۰۰۰۰۰ در اسیدکلریدریک ۰/۰۲ نرمال تهیه و با استفاده از فیلتر ۰/۲۲ میکرومتری استریل شد، غلظت‌های ppm ۵۰۰۰، ۲۵۰۰، ۱۲۵۰۰، ۶۲۵۰ و ۳۱۲۵ با استفاده از آب مقطر استریل آماده گردید (Ashari et al., 2019) و با رقت‌های مختلف تهیه شده از باکتریوسین‌های نیمه خالص شده که همانند روش آماده سازی نایسین تهیه شده بودند، از نظر حداقل غلظت بازدارندگی (MIC) و کشندگی (MBC) در میکروپلیت‌های ۹۶ چاهکی استریل و با روش میکرودایلوشن برات مورد مقایسه قرار گرفتند، ابتدا ۱۰۰ μl محیط کشت مولر هینتون برات در هر یک از چاهک‌ها توزین و از رقت‌های مختلف تهیه شده از باکتریوسین به حجم ۱۰۰ μl به چاهک‌ها اضافه

1- Minimum Inhibitory Concentration
2- Minimum Bactericidal Concentration

جدول ۱، آورده شده است. آزمون تولید گاز از گلوکز نشان دهنده همو و هترو فرمانتاتیو بودن باکتری است. باکتری‌های هتروفرمانتاتیو علاوه بر داشتن آنزیم آلدولازی دارای آنزیم فسفوکتولازی نیز هستند که به آن‌ها اجازه می‌دهد پنتوزها را به لاکتات و استات تبدیل و گاز CO₂، اسید و الکل تولیدکنند (Ebrahimi et al., 2016). نتایج نشان داد جدایه‌ها جزء گروه لاکتوباسیلوس‌های گرم مثبت و کاتالاز منفی هستند و جدایه‌های ۱۰A، Ab و سویه کنترل در ۴۸ ساعت گرمخانه‌گذاری از نظر تولید گاز مثبت و هتروفرمانتاتیو بودند.

جدا شده از ترشی مخلوط میوه حاوی به و سیب ترش، به‌عنوان سویه‌های با بیشترین مقدار باکتریوسین و قوی‌ترین ویژگی بازدارنده از رشد سویه بیماری‌زا، انتخاب و مورد آنالیزهای بعدی قرار گرفتند.

نتایج آزمایش‌های فنوتیپی، فیزیولوژی و بیوشیمیایی جهت شناسایی جدایه‌ها

تولید گاز از گلوکز

نتایج آزمون‌های فنوتیپی و فیزیولوژیکی به همراه آزمون تولید گاز از گلوکز برای هر ۴ جدایه انتخاب شده از فراورده‌های مختلف در

جدول ۱- ویژگی‌های مورفولوژی و فنوتیپی جدایه‌های حاصل از فراورده‌های تخمیری بر پایه میوه

Table 1- Morphological and phenotypic characteristics of isolates obtained from fruit-based fermented products

جدایه (Isolate)	محصول (Product)	تولید گاز از گلوکز (Gas production from glucose)	ایندول (Indole)	کاتالاز (Catalase)	گرم (Gram)	مورفولوژی (Morphology)	شکل کلنی (Colony form)
10A	ترشی مخلوط میوه حاوی به و سیب ترش (Pickled mixed fruit containing quince and sour apple)	+	-	-	+	باسیلی (Rod)	کنگره دار (Crenate)
S6	انبه تخمیری (Fermented mango)	-	-	-	+	باسیلی (Rod)	دیواره صاف (Smooth wall)
Sa	زالزالک تخمیری (Fermented hawthorn)	-/+	-	-	+	باسیلی (Rod)	دیواره صاف (Smooth wall)
Ab	ازگیل تخمیری (Fermented medlar)	+	-	-	+	باسیلی (Rod)	کلنی مقعر (Concave colony)

10A: لاکتی پلانتهی باسیلوس پلانتاروم گونه ۳۳۶۰؛ V3: لاکتی پلانتهی باسیلوس پلانتاروم گونه Heal 19؛ S6: لاکتی پلانتهی باسیلوس پلانتاروم گونه ۷۲۳۲؛ Ab: لاکتی

پلانتهی باسیلوس پلانتاروم گونه Lan4.

10A: L. plantarum strain 3360; V3 L. plantarum strain Heal 19; S6: L. plantarum strain 7232; Sa: L. plantarum strain lb51; Ab: L. plantarum strain Lan4..

(al., 2021) در رابطه با جداسازی باکتری اسید لاکتیک از کلم پیچ تخمیری همخوانی نزدیکی داشت.

توانایی رشد در دماهای مختلف

هر چهار سویه تولیدکننده باکتریوسین در دمای ۴۵ درجه سانتی‌گراد قادر به رشد در مدت زمان کمتری (۲۴ ساعت) نسبت به دمای ۱۵ درجه سانتی‌گراد (۷۲ ساعت) بودند. با توجه به نتایج (جدول ۳)، جدایه‌ها در دماهای پایین‌تر به مدت زمان بیشتری برای رشد نیاز داشته و کلنی‌های ریزتری را تشکیل دادند و شاید این موضوع یکی از علل تخمیر طولانی مدت در فراورده‌های تخمیری، جهت رسیدن به طعم و بوی مطلوب، رشد و آداپتاسیون دیر هنگام باکتری‌های اسید لاکتیک در دمای پایین باشد. نتایج این بررسی با نتایج ابراهیمی و

تخمیر کربوهیدرات‌ها

نتایج این بررسی روی کربوهیدرات‌های گلوکز، ساکارز، لاکتوز، آرابینوز، مانیتول، زایلوز، گالاکتوز، مالتوز و فروکتوز نشان داد، هر چهار جدایه کربوهیدرات‌های مانیتول، گلوکز و ساکارز را که قندهای مونو ساکاریدی و آلدوهگروز هستند، بهتر از قندهای زایلوز و آرابینوز که مونو ساکاریدی و آلدو پنتوز هستند، تخمیر کرده و افشره سلولی بیشتری تشکیل می‌دهند. سویه‌های جدا شده در محیط‌های حاوی قندهای زایلوز و آرابینوز هیچگونه تغییر رنگی ایجاد نکردند (شکل ۱، جدول ۲). نتایج این پژوهش با نتایج حاصل از بررسی گروسو-تودور و زمفیر (Grosu-Tudor and Zamfir, 2011) در خصوص جداسازی و شناسایی مولکولی سویه‌های اسیدلاکتیک از سبزیجات تخمیری بومی رومانی و نتایج حاصل از زتاوسکا و همکاران (Szutowska et

همکاران (Kazempoor *et al.*, 2012) جداسازی سویه‌های اسیدلاکتیک از سزيجات تخمیری همخوانی داشت.

همکاران (Ebrahimi *et al.*, 2016) جداسازی و شناسایی مولکولی لاکتوباسیلوس برویس از سرکه بومی و بررسی کاظمی پور و



شکل ۱- تخمیر قندهای مختلف توسط جدایه‌ها (لوله‌های قرمز رنگ عدم تخمیر قند زایلوز و آرابینوز)

Fig. 1- fermentation of different sugars by the isolates (red colored tubes of non-fermentation of xylose and arabinose sugars)

جدول ۲- تخمیر کربوهیدرات‌های مختلف توسط سویه‌های تولیدکننده باکتریوسین

Table 2- Fermentation results of different carbohydrates by bacteriocin-producing strains

جدایه Isolate	فروکتوز Fructose	مالتوز Maltose	گالاکتوز Galactose	زایلوز Xylose	ماننیتول Mannitol	آرابینوز Arabinose	لاکتوز Lactose	گلوکز Glucose	ساکارز Sucrose
10A	+	+	+	-	+	-	+	+	+
S6	+	+	+	-	+	-	+	+	+
Ab	+	+	+	-	+	+/-	+	+	+
Sa	+	+	+	-	+	-	+	+	+
Ctrl	+	+	+	-	+	-	+	+	+

10A: (-) لاکتی پلاتنتی باسیلوس پلانتاروم گونه ۳۳۶۰؛ V3: لاکتی پلاتنتی باسیلوس پلانتاروم گونه Heal 19؛ S6: لاکتی پلاتنتی باسیلوس پلانتاروم گونه ۷۲۳۲؛ Ab:

لاکتی پلاتنتی باسیلوس پلانتاروم گونه Lan4، Ctrl: کنترل.

10A: *L. plantarum* strain 3360; V3 *L. plantarum* strain Heal 19; S6: *L. plantarum* strain 7232; Sa: *L. plantarum* strain lb51; Ab: *L. plantarum* strain Lan4; Ctrl: Control.

عدم تخمیر قند، (+) انجام تخمیر، (+/-) تخمیر خیلی کم

no sugar fermentation, (+) fermentation, (-/+) very little fermentation(-)

میکروارگانسیم‌های مقاوم در برابر نمک از جمله باکتری‌های اسید لاکتیک را فراهم می‌آورد. در شرایط خاص، نمک افزوده شده با ایجاد فشار اسمزی بالا و کاهش فعالیت آبی به‌عنوان یک نگهدارنده عمل می‌کند و در نهایت باعث حذف سویه‌های رقیب می‌شود (Miraei Ashtiani *et al.*, 2023; Persulesy *et al.*, 2020). بنابراین فعالیت باکتری‌های اسیدلاکتیک باعث رسیدن سریعتر فراورده‌های تخمیری نسبت به حالت کنترل (نمونه‌های بدون نمک) می‌گردد. با توجه به نتایج (جدول ۳) در محتوای نمک ۲ و ۴ درصد هر چهار جدایه در محیط کشت MRS برات کدورت تشکیل دادند تشکیل کدورت و پالیده ته نشست میکروبی (افشره) در نمونه Sa در محتوای نمک ۶/۵ درصد ضعیف‌تر از دیگر جدایه‌ها بود. در این آزمایش محتوای نمک ۴ درصد محیط مناسبی برای رشد باکتری‌های اسید لاکتیک شناسایی شد. نتایج این بررسی با نتایج ابراهیمی و همکاران (Ebrahimi *et al.*, 2016) در مورد جداسازی و شناسایی

توانایی رشد در غلظت‌های مختلف نمک

نمک به‌عنوان یک فاکتور موثر برای ممانعت از رشد میکروارگانسیم‌های ایجاد کننده فساد که مقاوم به نمک نیستند و رشد سویه‌های اسیدلاکتیک در فراورده‌های تخمیری است. بر طبق نتایج حاصل از پژوهش علی‌زاده و همکاران (Alizadeh *et al.*, 2010) در این فراورده‌ها افزودن نمک در غلظت ۴ درصد، باعث افزایش جمعیت باکتری‌های اسید لاکتیک به مقدار 10^9 CFU/mL شده و با افزایش مقدار نمک به بیشتر از ۵ درصد، کاهش نیم لگاریتمی در جمعیت میکروبی صورت می‌گیرد. از دیگر سو با توجه به گزارشات پرسولسی و همکاران (Persulesy *et al.*, 2020) سطح بالای نمک باعث مرگ میکروارگانسیم‌های ایجاد کننده فساد می‌شود که در برابر نمک مقاوم نیستند، این شرایط انتخابی زمینه رشد برای

1- colony-forming unit

از ماست محلی بهبهان و نتایج ابراهیمی و همکاران (Ebrahimi et al., 2016) جداسازی سویه‌های اسیدلاکتیک از سرکه و نتایج حوانهلم و همکاران (Hwanhlem et al., 2017) جداسازی سویه های اسید لاکتیک از روده جوجه و بررسی رشد سویه‌های لاکتوباسیل در pH مناسب همخوانی داشت.

با توجه به نتایج بدست آمده از آنالیزهای فنوتیپی، فیزیولوژی و بیوشیمیایی از مجموع ۱۶۲ جدایه اسید لاکتیک پنج جدایه به‌عنوان سویه‌های با بیشترین و قوی‌ترین ویژگی بازدارنده از رشد سویه‌های بیماری‌زا، انتخاب و مورد آنالیزهای بعدی قرار گرفتند. در مقایسه با جدول برگی ۷۰٪ از سویه‌های جدا شده جزء گروه لاکتوباسیلوس‌های هتروفرماتانتیو اختیاری و به‌عنوان لاکتی پلاننتی باسیلوس پلانتروم و ۱۰٪ جدایه‌ها از گروه لاکتوباسیلوس‌های هوموفرماتانتیو اختیاری- اجباری به عنوان لاکتوباسیلوس اسیدوفیلوس و ۱۰٪ جدایه‌ها بصورت ناشناخته باقی ماندند. از بین سویه‌های شناخته شده، جدایه های با کدهای Ab- جدا شده از ترشی ازگیل، Sa- از فراورده تخمیری زالزالک، S6- از ترشی انبه و 10A- جدا شده از ترشی مخلوط میوه حاوی به و سیب ترش جهت شناسایی انتخاب و در مرحله بعد توالی یابی شدند.

مولکولی لاکتوباسیلوس برویس از سرکه بومی، و نتایج علی‌زاده و همکاران (Alizadeh et al., 2010) تاثیر نمک بر رشد و ویژگی ضد میکروبی باکتری‌های اسید لاکتیک جدا شده از خمیر ترش نان های سنتی و بررسی کاظمی پور و همکاران (Kazemipoor et al., 2012) جداسازی سویه‌های اسیدلاکتیک از سبزیجات تخمیری و بررسی گروسو-تودور و زمفیر (Grosu-Tudor and Zamfir, 2011) جداسازی و شناسایی مولکولی سویه‌های اسیدلاکتیک از سبزیجات تخمیری بومی رومانی همخوانی نزدیکی را نشان می‌دهد.

توانایی رشد در pH های مختلف

با توجه به نتایج (جدول ۳) هیچ یک از جدایه‌های مورد آزمایش در pH = ۲ رشدی نداشت ولی تقریباً تمامی جدایه‌ها در محدوده pH = ۴-۶/۵ رشد خوبی از خود نشان دادند که این یکی از ویژگی های باکتری‌های اسیدلاکتیک و تخمیر فراورده‌های تخمیری به کمک آن‌ها به شمار می‌رود. جدایه Sa بعد از ۲۴ ساعت گرمخانه گذاری فقط در محیط نزدیک خنثی رشد نسبتاً مناسبی در مقایسه با سایر جدایه‌ها داشت. نتایج این بررسی با نتایج حاصل از پژوهش علیزاده بهبهانی و همکاران (Alizadeh Behbahani et al., 2021) ارزیابی فعالیت باکتریوسین حاصل از باکتری‌های لاکتوباسیل جدا شده

جدول ۳- تاثیر دمای ۱۵ و ۴۵ درجه سانتی‌گراد در مدت زمان ۲۴ و ۷۲ ساعت، غلظت‌های مختلف نمک و pH بر رشد جدایه‌ها
Table 3- Effect of temperature of 15°C and 45°C in 24 and 72 hours, different concentrations of salt and pH on the isolates growth

جدایه (Isolate)	متغیر (Variable)									
	24 h 15°C	72 h 15°C	24 h 45°C	72 h 45°C	2% نمک	4% نمک	6.5% نمک	=2 pH	=4 pH	=6.5 pH
S6	-	-	+	+	+	++	+	-	+	+
10A	-	+	+	+	+	++	+	-	+	+
Ab	-	+	+	+	+	++	+	-	+	+
Sa	-	+	-	+	+	++	+ ضعیف (Weak+)	-	+/-	+
Ctr	-	+	+	+	+	++	+	-	+	+

10A: (-) لاکتی پلاننتی باسیلوس پلانتروم گونه ۳۳۶۰؛ V3: لاکتی پلاننتی باسیلوس پلانتروم گونه 19 Heal؛ S6: لاکتی پلاننتی باسیلوس پلانتروم گونه ۲۳۳۲؛ Ab: لاکتی پلاننتی باسیلوس پلانتروم گونه 4 Lan، Ctr: کنترل.

10A: *L. plantarum* strain 3360; V3 *L. plantarum* strain Heal 19; S6: *L. plantarum* strain 7232; Sa: *L. plantarum* strain lb51; Ab: *L. plantarum* strain Lan4; Ctr: Control.

(-) عدم رشد، (+) رشد مناسب، (+/-) رشد ضعیف، (+) رشد خوب با تولید باکتریوسین بیشتر

(-) good growth with more bacteriocin production, (+) good growth, (+/-) poor growth, (+) good growth, (-) no growth

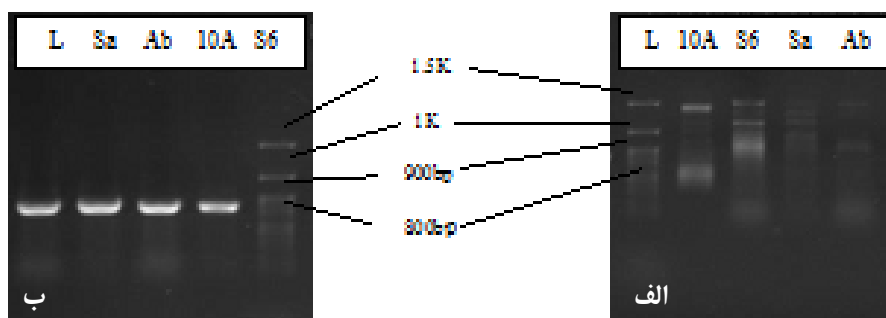
CTAB انجام شد، با اندکی تغییرات در روند استخراج و استفاده همزمان از دو آنزیم لیزوزیم و پروتئیناز K استخراج بهتری صورت

انگشت‌نگاری ژنومی و الکتروفورز

این روش جهت شناسایی باکتری‌ها در سطح سویه یک ابزار دقیق و قابل اطمینان است. در این بررسی استخراج DNA به روش

می‌دهد و با توجه به شکل ۲، ب باند‌های مشخص برای هر ۴ جدایه در ناحیه ۸۰۰ bp، نشان دهنده میزان شباهت میان گونه‌ای است. نتایج این بررسی با نتیجه آزمون فرچچی و همکاران (Ferchichi et al., 2007) شناسایی مولکولی سویه‌های اسیدلاکتیک جدا شده از شیر بز و شناسایی سویه‌های اسید لاکتیک در نواحی ۷۳۳bp برای سویه‌های مختلف *انتروکوکوس همخوانی* نزدیکی داشت.

گرفت چرا که شکستن دیواره سلولی باکتری‌های گرم مثبت و خروج بیشتر DNA را به همراه داشت. بعد از انجام PCR و الکتروفورز DNA استخراج شده زیر نور UV با مارکر ۱۰۰bp (سیناکلون) مقایسه باندها صورت گرفت، باندها در نواحی ۸۰۰ bp مشاهده شدند. تصویر انگشت نگاری ژنومی (شکل ۲، الف) که از ژل آگارز یک و نیم درصد بدست آمده است میزان تفاوت در بین جدایه‌ها را نشان



شکل ۲- الف. انگشت نگاری ژنومی، ب. نمایش محصول PCR (قطعه ۸۰۰ bp) حاصل از تکثیر ژن rRNA ۱۶s
 Fig. 2- a. Genomic fingerprinting, b. Showing the PCR product (800 bp fragment) resulting from the amplification of 16s rRNA gene

انتظار بر غالب بودن گونه لاکتی پلانتهی باسیلوس پلانتاروم بود چرا که طبق نتایج هو و همکاران (Hu et al., 2013) در مورد جداسازی سویه‌های غالب فرآورده‌های سبزی و میوه، لاکتی پلانتهی باسیلوس پلانتاروم به‌عنوان سویه غالب فرآورده‌های تخمیری گیاهی بر پایه میوه و سبزی شناخته شده است، که با یافته‌های پژوهش‌های حاضر همخوانی داشت.

توالی‌یابی

با توجه به جدول ۴، نتایج حاصل از توالی‌یابی مشخص کننده غالب بودن سویه لاکتی پلانتهی باسیلوس پلانتاروم در فرآورده‌های تخمیری بر پایه میوه بود. بعد از شناسایی جمعیت لاکتیکی فرآورده‌های تخمیری نتیجه حاصل از آزمون مولکولی با پیش‌بینی این مطالعه از جمعیت میکروبی ذاتی فرآورده‌های تخمیری بر پایه میوه و نتایج آزمون‌های بیوشیمیایی تا حدودی مطابقت داشت. در این مطالعه

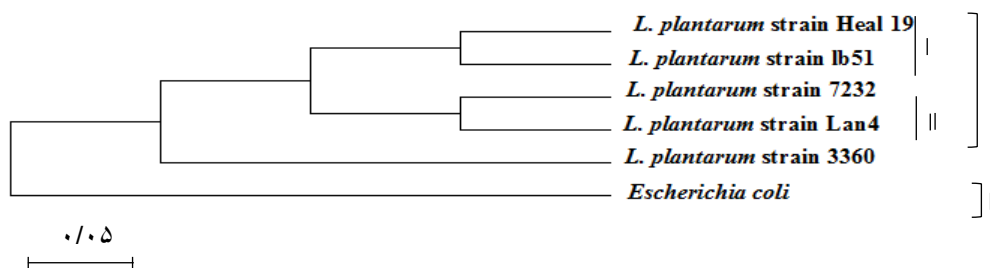
جدول ۴- نتایج توالی‌یابی 16S rDNA جدایه‌های حاصل از فرآورده‌های تخمیری میوه
 Table 4- The results of 16S rDNA sequencing of isolates obtained from fermented fruit products

کد جدایه (Isolate code)	شماره ثبت (Accession number)	درصد شباهت در NCBI (% ID in NCBI)	اسامی سویه‌های جدا شده (Name of bacteria)
10A	MT613643/1	96.42%	لاکتی پلانتهی باسیلوس پلانتاروم سویه 3360 (<i>Lactiplantibacillus plantarum</i> strain 3360)
S6	MT645503/1	98.75%	لاکتی پلانتهی باسیلوس پلانتاروم سویه 7232 (<i>Lactiplantibacillus plantarum</i> strain 7232)
Sa	LT853604/1	99.58%	لاکتی پلانتهی باسیلوس پلانتاروم سویه Lan4 <i>Lactiplantibacillus plantarum</i> strain Lan4
Ab	AY590774/1	98.92%	لاکتی پلانتهی باسیلوس پلانتاروم سویه lb51

پلانتهی باسیلوس پلانتاروم سویه lb ۵۱ و در زیر خوشه دوم لاکتی پلانتهی باسیلوس پلانتاروم سویه ۷۳۳۲ و Lan۴ و در خوشه دوم لاکتی پلانتهی باسیلوس پلانتاروم سویه ۳۳۶۰ قرار دارند. در دندوگرام رسم شده از ژن rRNA ۱۶s /شریشیا کلی به عنوان سویه خارج از گروه استفاده شده است.

ترسیم درخت فیلوژنتیکی (دندوگرام)

به طور کلی درخت رسم شده (شکل ۳) شامل دو خوشه است، خوشه اول از دو زیر خوشه تشکیل شده که در هر زیر خوشه دو سویه متفاوت از لاکتی پلانتهی باسیلوس پلانتاروم واقع شده‌اند، در زیر خوشه اول لاکتی پلانتهی باسیلوس پلانتاروم سویه ۱۹ Heal و لاکتی



شکل ۳- ترسیم درخت فیلوژنتیکی با مقایسه ژن rRNA 16S با استفاده از نرم افزار مگا ۷
 Fig. 3- Drawing a phylogenetic tree by comparing 16S rRNA gene using Mega 7 software

اخته و نتایج پژوهش هو و همکاران (Hu *et al.*, 2013) جداسازی و شناسایی پلانتراسین ۱۶۳ از سبزی تخمیری چینی و ویژگی ضد لیستریایی آن همخوانی داشت. برای تایید ماهیت پروتئینی ترکیبات جدا شده، اثر آنزیم‌های پروتئازی، کیموتریپسین، لیزوزیم، پپسین و پروتئیناز K روی آن‌ها بررسی شد و با از بین رفتن هاله عدم رشد که نشان دهنده ماهیت پروتئینی ترکیبات جدا شده (باکتریوسین) بود بر آزمون چاهک گذاری صحه گذاشته شد (نتایج آزمون اثر آنزیم‌ها ارائه نشده است).

سنجش تیترا یا عیار باکتریوسین

در تمامی باکتریوسین‌ها بالاترین رقتی که فعالیت بازدارندگی را در برابر سویه‌های شاخص *استافیلوکوکوس اورئوس* و *اشریشیا کلی* نشان داد به‌عنوان تیترا و یا عیار باکتریوسین و با واحد AU/ml معرفتی شد. با توجه به جدول ۶ تمامی باکتریوسین‌های استخراج شده در این بررسی فعالیت بیشتری نسبت به آنچه در مطالعات آشاری و همکاران (Ashari *et al.*, 2019) بررسی حداقل مقدار کشندگی نایسین و مطالعات ال شانی و همکاران (El-Shouny *et al.*, 2020) در مورد پلانتراسین SR18 با فعالیت ۲۵۶۰۰ AU/ml استخراج شده از لاکتی پلاننتی *باسیلوس پلانتراروم* جدا شده از ماست گزارش شده بود، نشان دادند. باکتریوسین حاصل از جدایه ۱۰A و Ab با مقدار فعالیت ۶۴۰۰۰ AU/ml به‌عنوان قویترین باکتریوسین در سنجش عیار باکتریوسین در مقایسه با نایسین تجاری (Siveele) محسوب می‌گردد هر چند که از نظر اندازه قطر هاله عدم رشد، جدایه ۱۰A بیشترین مقدار را در مقایسه با سایر باکتریوسین‌های مورد آزمایش حتی با فعالیت یکسان نشان داد.

بررسی هاله بازدارندگی با روش چاهک‌گذاری

با توجه به نتایج جدول ۵ و شکل ۴، هر چهار سویه منتخب هاله‌هایی بسیار شفاف در حضور سویه‌های بیماری‌زا با رقت 10^8 تشکیل دادند. در این بررسی سویه ۴ Lan و ۷۲۳۲ در مقایسه با دو جدایه دیگر، نقاط بازدارنده از رشد بزرگتری را در برابر *استافیلوکوکوس اورئوس* تشکیل دادند. نقاط بازدارنده از رشد در برابر *استافیلوکوکوس اورئوس* بیشتر از *سالمونلا تایفی* و آن هم بزرگتر از *اشریشیا کلی* گزارش گردید، که این بازدارندگی در سطح احتمال $(p < 0.05)$ معنی دار بود. این آزمون نشان دهنده موثر بودن باکتریوسین باکتری‌های اسیدلاکتیک بر میکروارگانسیم‌های هم نوع خود بیشتر از باکتری‌های گرم منفی و تاثیر معنی‌دار آن در سطح احتمال $(p < 0.05)$ بر باکتری‌های گرم منفی در مقایسه با تیمار کنترل (نایسین تجاری) بود. در مقایسه با نایسین تجاری هر چهار باکتریوسین استخراج شده در برابر هر چهار سویه شاخص از نظر قطر هاله‌های عدم رشد در سطح احتمال $(p < 0.05)$ تفاوت معنی‌داری داشتند. نتایج گزارش شده در این آزمایش با نتایج جداسازی پلانتراسین از لاکتی پلاننتی *باسیلوس پلانتراروم* SR18 ال شانی و همکاران (El-Shouny *et al.*, 2020)، پژوهش شهیدی و همکاران (Shahidi *et al.*, 2014) کاربرد فیلم ضد میکروبی جهت مهار لیستریا *مونوسایتوجنز* در گوشت، پژوهش عبدالله‌زاده و همکاران (Abdollahzadeh *et al.*, 2012) در مورد تاثیر نایسین و آویشن شیرازی بر جمعیت لیستریا *مونوسایتوجنز* در گوشت چرخ شده و بررسی‌های بنچ و همکاران (Benech *et al.*, 2002) تاثیر نایسین Z بر زمان ماندگاری فیله ماهی و پژوهش علیرضالو و همکاران (Alirezalu *et al.*, 2020) تاثیر نایسین بر مدت زمان نگهداری سوسیس فرانکفورتر نتایج پژوهش شکری و همکاران (Shokri *et al.*, 2013) در مورد تاثیر باکتریوسین استخراج شده از *اتروکوکوس فاسیوم* DSH₂₀ بر سویه‌های مختلف لیستریا *مونوسایتوجنز*، نتایج شیانگ و همکاران (Xiang *et al.*, 2021) در مورد جداسازی باکتریوسین حاصل از جدایه‌های بدست آمده از زغال

جدول ۵- قطر هاله عدم رشد (میلی متر) باکتریوسین های استخراج شده مختلف علیه بیماری زاهای گرم مثبت و منفی
Table 5- Diameter of Inhibition zone (mm) of different extracted bacteriocins against Gram positive and Gram negative pathogens

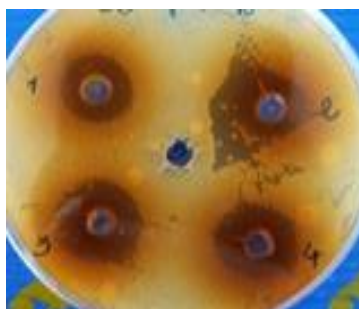
باکتریوسین (Bacteriocin)	میکرو اورگانیزم شاخص (Indicator microorganisms)			
	استافیلوکوکوس اورئوس (<i>Staphylococcus aureus</i>) ATCC 25922 10 ⁸ CFU/mL	اشریشیا کلی (<i>Escherichia coli</i>) ATCC 25923 10 ⁸ CFU/mL	سالمونلا تایفی موریوم (<i>Salmonella typhimurium</i>) PTCC 1609 10 ⁸ CFU/mL	لیستریا مونوسایتوجنز (<i>Listeria monocytogenes</i>) PTCC1165 10 ⁸ CFU/mL
b10A	21 ^{aA}	16 ^{aD}	18 ^{aC}	19 ^{aB}
bS6	19 ^{abcA}	12 ^{abcD}	18 ^{abcC}	18 ^{abcB}
bSa	18 ^{bcA}	15 ^{bcD}	16 ^{bcC}	19 ^{bcB}
bAb	20 ^{abA}	13 ^{abD}	17 ^{abC}	17 ^{abB}
نایسین (Nisin)	18 ^{cA}	13 ^{cD}	16 ^{cC}	17 ^{cB}

b: باکتریوسین؛ 10A: لاکتی پلانتهی باسیلوس پلانتروم گونه ۳۳۶۰؛ V3: لاکتی پلانتهی باسیلوس پلانتروم گونه 19 Heal S6؛ لاکتی پلانتهی باسیلوس پلانتروم گونه ۳۳۳۲؛ Ab: لاکتی پلانتهی باسیلوس پلانتروم گونه Lan4.

نتایج به صورت میانگین سه تکرار بیان شد. اعداد با حروف مشترک در هر ستون دارای اختلاف معنی دار ($p < 0.05$) نمی باشند. اعداد با حروف مشترک در هر ردیف دارای اختلاف معنی دار ($p < 0.05$) نمی باشند.

b: bacteriocin; 10A: *L. plantarum* strain 3360; V3 *L. plantarum* strain Heal 19; S6: *L. plantarum* strain 7232; Sa: *L. plantarum* strain lb51; Ab: *L. plantarum* strain Lan4.

The results were expressed as the average of three repetitions. Numbers with same letters in each column do not have significant differences ($p > 0.05$). Numbers with same letters in each row do not have a significant difference ($p > 0.05$).



شکل ۴- نقاط بازدارنده از رشد برای هر ۴ سویه در رقت ۱۰^۸ بیماری زا
Fig. 4- Inhibition zones for all 4 strains in 10⁸ of pathogen strain

سانتی گراد جدایه ۱۰A و Ab با اندازه هاله (۱۵ و ۱۴ میلی متر) در برابر باکتری استافیلوکوکوس اورئوس دارای بالاترین قطر هاله عدم رشد و به عنوان قوی ترین باکتریوسین ها گزارش شدند. بیشترین اثر بازدارندگی مربوط به باکتریوسین جدایه ۱۰A در برابر باکتری استافیلوکوکوس اورئوس بوده است. نتایج این بررسی با نتایج آزمون شکر و همکاران (Shokri et al., 2013) در مورد تاثیر حرارت بر باکتریوسین استخراج شده از اتروکوکوس فاسیوم DSH20 و نتایج علیزاده بهبهانی و همکاران (Alizadeh Behbahani et al., 2021) در مورد جداسازی لاکتوباسیلوس های مختلف مقاوم به حرارت اتوکلاو جدا شده از ماست محلی و نتایج شیانگ و همکاران (Xiang et al., 2021) در مورد باکتریوسین JS17 جدا شده از باسیلوس سوبتلیس مطابقت نزدیکی داشت.

بررسی اثر دماهای ۶۰ و ۱۲۱ درجه سانتی گراد به مدت ۲۰ دقیقه بر فعالیت باکتریوسین

برای تعیین پایداری اثر بازدارندگی در درجه حرارت های بالا، فعالیت ضد میکروبی باکتریوسین استخراج شده از سویه های مختلف در دمای پاستوریزاسیون سرد و دمای استریلیزاسیون بررسی شد، با توجه به (جدول ۷) باکتریوسین های حاصل از جدایه های مختلف در برابر ۲۰ دقیقه دماهای ۶۰ و ۱۲۱ درجه سانتی گراد فعالیت بازدارندگی خود را همچنان حفظ کردند و باعث ممانعت از رشد بیماری زاهای گرم مثبت و گرم منفی شدند، هر چند که در مقایسه با قبل از تیمار حرارتی، فعالیت هر چهار باکتریوسین کاهش معنی داری در سطح احتمال ($p < 0.05$) داشت. بعد از تیمار حرارتی در دمای ۶۰ درجه

جدول ۶- عبار باکتریوسین‌های استخراج شده از سویه‌های لاکتی پلانتهای باسیلوس پلانتروم بر حسب AU/mL
Table 6- Bacteriocin titers from *Lactiplantibacillus plantarum* strains in terms of AU/mL

باکتریوسین (Bacteriocin)	میکروارگانیزم شاخص (Indicator microorganisms)	
	استافیلوکوکوس اورئوس (<i>Staphylococcus aureus</i>) ATCC 25922 10 ⁸ CFU/mL	اشریشیا کلی (<i>Escherichia coli</i>) ATCC 25923 10 ⁸ CFU/mL
	اشریشیا کلی	اشریشیا کلی
b10A	64000 ^{aA}	64000 ^{aB}
bS6	32000 ^{bA}	32000 ^{bB}
bSa	32000 ^{bA}	32000 ^{bB}
bAb	64000 ^{aA}	64000 ^{aB}
نایسین (Nisin)	32000 ^{bA}	32000 ^{bB}

b: باکتریوسین؛ 10A: لاکتی پلانتهای باسیلوس پلانتروم گونه ۳۳۶۰؛ V3: لاکتی پلانتهای باسیلوس پلانتروم گونه ۱۹ Heal؛ S6: لاکتی پلانتهای باسیلوس پلانتروم گونه ۳۳۳۲؛ Ab: لاکتی پلانتهای باسیلوس پلانتروم گونه Lan4.

نتایج به صورت میانگین سه تکرار بیان شد. اعداد با حروف مشترک در هر ستون دارای اختلاف معنی‌دار ($p < 0.05$) نمی‌باشند. اعداد با حروف مشترک در هر ردیف دارای اختلاف معنی‌دار ($p < 0.05$) نمی‌باشند.

b: bacteriocin; 10A: *L. plantarum* strain 3360; V3 *L. plantarum* strain Heal 19; S6: *L. plantarum* strain 7232; Sa: *L. plantarum* strain lb51; Ab: *L. plantarum* strain Lan4.

The results were expressed as the average of three repetitions. Numbers with same letters in each column do not have significant differences ($p > 0.05$). Numbers with same letters in each row do not have a significant difference ($p > 0.05$).

جدول ۷- اثر تیمار حرارتی ۶۰ و ۱۲۱ درجه سانتی‌گراد به مدت ۲۰ دقیقه بر سوپرناتانت خنثی شده در رقت ۱۰^۸ CFU/mL بیماری‌زا
Table 7- The effect of heat treatment 60°C and 121°C for 20 minutes on the neutralized supernatant at a dilution of 10⁸ CFU/mL of the pathogen

باکتریوسین (Bacteriocin)	میکروارگانیزم شاخص (Indicator microorganisms)					
	سالمونلا تایفی موربوم (<i>Salmonella typhimurium</i>) PTCC 1609	اشریشیا کلی (<i>Escherichia coli</i>) ATCC 25923	استافیلوکوکوس اورئوس (<i>Staphylococcus aureus</i>) ATCC 25922	سالمونلا تایفی موربوم (<i>Salmonella typhimurium</i>) PTCC 1609	اشریشیا کلی (<i>Escherichia coli</i>) ATCC 25923	استافیلوکوکوس اورئوس (<i>Staphylococcus aureus</i>) ATCC 25922
	60°C			121°C		
b10A	14 ^{aB}	13 ^{aB}	15 ^{aA}	12 ^{aB}	14 ^{aB}	15 ^{aA}
bS6	11 ^{cB}	11 ^{cB}	12 ^{cA}	11 ^{cB}	11 ^{cB}	13 ^{cA}
bSa	14 ^{bB}	14 ^{bB}	12 ^{bA}	14 ^{bB}	14 ^{bB}	12 ^{bA}
bAb	13 ^{bB}	13 ^{bB}	14 ^{bA}	14 ^{bB}	13 ^{bB}	14 ^{bA}
نایسین (Nisin)	11 ^{cB}	10 ^{cB}	13 ^{cA}	12 ^{cB}	11 ^{cB}	14 ^{cA}

b: باکتریوسین؛ 10A: لاکتی پلانتهای باسیلوس پلانتروم گونه ۳۳۶۰؛ V3: لاکتی پلانتهای باسیلوس پلانتروم گونه ۱۹ Heal؛ S6: لاکتی پلانتهای باسیلوس پلانتروم گونه ۳۳۳۲؛ Ab: لاکتی پلانتهای باسیلوس پلانتروم گونه Lan4.

نتایج به صورت میانگین سه تکرار بیان شد. اعداد با حروف مشترک در هر ستون دارای اختلاف معنی‌دار ($p < 0.05$) نمی‌باشند. اعداد با حروف مشترک در هر ردیف دارای اختلاف معنی‌دار ($p < 0.05$) نمی‌باشند.

b: bacteriocin; 10A: *L. plantarum* strain 3360; V3 *L. plantarum* strain Heal 19; S6: *L. plantarum* strain 7232; Sa: *L. plantarum* strain lb51; Ab: *L. plantarum* strain Lan4.

The results were expressed as the average of three repetitions. Numbers with same letters in each column do not have significant differences ($p > 0.05$). Numbers with same letters in each row do not have a significant difference ($p > 0.05$).

سطح احتمال ($p < 0.05$) معنی دار نبود. جدایه ۱۰A در برابر استافیلوکوکوس اورئوس و اشریشیا کلی با قطر هاله ۲۱ و ۱۸ میلی-متر بعد از ۶ ماه نگهداری در هر دو دمای دارای بالاترین ویژگی بازدارندگی بود، با توجه به نتایج (جدول ۵) و بررسی اثر بازدارندگی در زمان صفر و می توان باکتریوسین تخلیص شده را به مدت ۶ ماه و بیشتر در دماهای ۴ و ۲۰- درجه سانتی گراد بدون کاهش معنی دار در قدرت بازدارندگی نگهداری کرد.

بررسی اثر ۶ ماه نگهداری در دمای ۴ و ۲۰- درجه سانتی-گراد بر فعالیت باکتریوسین

باکتریوسین خالص شده از تمامی سویه‌ها بعد از ۶ ماه نگهداری در دمای یخچالی ۴ و فریزری ۲۰- درجه سانتی-گراد، در برابر بیماری‌زاهای شاخص در رقت 10^8 CFU/mL دارای نقاط بازدارنده از رشد بودند. با توجه به نتایج (جدول ۸) اثر زمان باعث کاهش ویژگی بازدارندگی تمامی باکتریوسین‌ها شد، ولی این کاهش در

جدول ۸- اثر ۶ ماه زمان نگهداری بر طیف بازدارندگی باکتریوسین (میلی‌متر) در رقت 10^8 CFU/mL بیماری‌زا

Table 8- The effect of 6 month of storage on bacteriocin inhibition zone (mm) in dilution 10^8 CFU/mL pathogen

باکتریوسین (Bactericin)	میکروارگانیزم شاخص (Indicator microorganisms)					
	سالمونلا تایفی- موریوم <i>Salmonella typhimurium</i> PTCC 1609	اشریشیا کلی <i>Escherichia coli</i> ATCC 25923	استافیلوکوکوس اورئوس <i>Staphylococcus aureus</i> ATCC 25922	سالمونلا تایفی موریوم (<i>Salmonella typhimurium</i>) PTCC 1609	اشریشیا کلی <i>Escherichia coli</i> ATCC 25923	استافیلوکوکوس اورئوس <i>Staphylococcus aureus</i> ATCC 25922
	4 °C			-20 °C		
b10A	14 ^{aB}	14 ^{aC}	18 ^{aA}	16 ^{aB}	18 ^{aC}	21 ^{aA}
bS6	15 ^{bB}	13 ^{bC}	17 ^{bA}	16 ^{bB}	16 ^{bC}	18 ^{bA}
bSa	13 ^{cB}	12 ^{cC}	15 ^{cA}	14 ^{cB}	14 ^{cC}	16 ^{cA}
bAb	11 ^{cdB}	12 ^{cdC}	14 ^{cdA}	15 ^{cdB}	14 ^{cdC}	17 ^{cdA}
نایسین (Nisin)	12 ^{dB}	11 ^{dC}	15 ^{dA}	14 ^{dB}	13 ^{dC}	16 ^{dA}

b: باکتریوسین؛ 10A: لاکتی پلانتی باسیلوس پلانتاروم گونه ۳۳۶۰؛ V3: لاکتی پلانتی باسیلوس پلانتاروم گونه 19 Heal S6؛ لاکتی پلانتی باسیلوس پلانتاروم گونه ۷۳۳۲؛ Ab: لاکتی پلانتی باسیلوس پلانتاروم گونه Lan4.

نتایج به صورت میانگین سه تکرار بیان شد. اعداد با حروف مشترک در هر ستون دارای اختلاف معنی دار ($p < 0.05$) نمی‌باشند. اعداد با حروف مشترک در هر ردیف دارای اختلاف معنی دار ($p < 0.05$) نمی‌باشند.

b: bacteriocin; 10A: *L. plantarum* strain 3360; V3 *L. plantarum* strain Heal 19; S6: *L. plantarum* strain 7232; Sa: *L. plantarum* strain lb51; Ab: *L. plantarum* strain Lan4.

The results were expressed as the average of three repetitions. Numbers with same letters in each column do not have significant differences ($p > 0.05$). Numbers with same letters in each row do not have a significant difference ($p > 0.05$).

– ۶ (pH =) بود، در حالی که با افزایش و کاهش pH از محدوده خنثی به سمت اسیدی و قلیایی، روند نزولی در اثر مهارتی باکتریوسین‌ها رویت گردید، که این کاهش در pH های خیلی پایین و خیلی بالا در سطح احتمال ($p < 0.05$) معنی دار بود. در pH خیلی اسیدی (pH = ۲) و خیلی قلیایی (pH = ۱۰) کاهش اثر بازدارندگی در مورد تمامی باکتریوسین‌ها و کاهش شدیدتر در اثر مهارتی نایسین مشاهده گردید، بطوریکه در pH = ۲ اثر بازدارندگی باکتریوسین‌های استخراج شده در برابر اشریشیا کلی صفر و برای نایسین در برابر تمامی سویه‌های شاخص اعم از گرم منفی و مثبت صفر گزارش شد. این آزمون نشان دهنده پایداری اثر مهارتی باکتریوسین‌های استخراج

بررسی اثر pH های مختلف بر فعالیت باکتریوسین
تخلیص شده

در این بررسی باکتریوسین حاصل از جدایه‌های مختلف، در برابر pH های ۲ تا ۱۰ تنظیم شده با HCl و NaOH قرار گرفته و پایداری اثر مهارتی آن‌ها در برابر بیماری‌زاهای گرم منفی و گرم مثبت با نایسین تجاری مقایسه گردید. با توجه به نتایج (جدول ۹) در محدوده وسیع pH تمامی باکتریوسین‌های استخراج شده ویژگی ضد میکروبی خود را در برابر سویه‌های شاخص حفظ کرده و این اثر در باکتری گرم مثبت استافیلوکوکوس اورئوس در مقایسه با سویه‌های گرم منفی بیشتر گزارش شد، بیشترین اثر مهارتی در تمامی موارد در محدوده (۸)

مختلف جدا شده از ماست محلی همخوانی نزدیکی داشت با این تفاوت که باکتریوسین‌های استخراج شده در پژوهش حاضر در محدوده وسیعی از pH اسیدی و قلیایی در هر دو تکرار ویژگی مهاری بیشتری از پلانتارسین ZJ 316 نشان دادند.

شده در محدوده وسیعی از pH و قوی‌تر بودن آن‌ها در مقایسه با نایسین تجاری است. نتایج این بررسی با نتایج آزمون چن و همکاران (Chen et al., 2018) در مورد جداسازی و خالص‌سازی پلانتارسین ZJ 316 و نتایج علیزاده بهبهانی و همکاران (Alizadeh Behbahani et al., 2021) در مورد جداسازی لاکتوباسیلوس‌های

جدول ۹- تاثیر pH های مختلف بر قطر هاله عدم رشد (میلی متر) باکتریوسین‌های مختلف در برابر 10^8 CFU/mL میکروارگانیسم‌های شاخص
Table 9- Effect of different pH on the diameter of inhibition zone (mm) of different bacteriocins against 10^8 CFU/mL

		indicator microorganisms								
میکروارگانیسم شاخص Indicator microorganisms 10^8 CFU/mL	باکتریوسین Bacteriocin	pH								
		10	9	8	7	6	5	4	3	2
استافیلوکوکوس اورئوس (<i>Staphylococcus aureus</i>) ATCC25922	b10A	12.5 ^{dA}	15 ^{cA}	19 ^{bA}	21 ^{aA}	18.5 ^{bA}	15 ^{cA}	12 ^{dA}	10 ^{eA}	9 ^{fA}
	bS6	12 ^{dB}	14 ^{cB}	17 ^{bB}	19 ^{aB}	16.5 ^{bB}	15 ^{cB}	11 ^{dB}	8 ^{eB}	6 ^{fB}
	bSa	10 ^{dC}	12 ^{cC}	16 ^{bC}	18 ^{aC}	14 ^{bC}	13 ^{cC}	12 ^{dC}	9 ^{eC}	9 ^{fC}
	bAb	10 ^{dCD}	12 ^{cCD}	17 ^{bCD}	20 ^{aCD}	17 ^{bCD}	14 ^{cCD}	11 ^{dCD}	9 ^{eCD}	8 ^{fCD}
اشریشیا کلی (<i>Escherichia coli</i>) ATCC25923	b10A	10 ^{dA}	13 ^{cA}	15 ^{bA}	17 ^{aA}	15 ^{bA}	14.2 ^{cA}	11 ^{dA}	9 ^{eA}	-
	bS6	10 ^{dB}	12 ^{cB}	14 ^{bB}	15 ^{aB}	14.2 ^{bB}	13.5 ^{cB}	10 ^{dB}	8 ^{eB}	-
	bSa	9.7 ^{dC}	11 ^{cC}	12 ^{bC}	13 ^{aC}	12 ^{bC}	11 ^{cC}	10 ^{dC}	8 ^{eC}	-
	bAb	9 ^{dCD}	10.5 ^{cCD}	12 ^{bCD}	14 ^{aCD}	12 ^{bCD}	10.5 ^{cCD}	9 ^{dCD}	7 ^{eCD}	-
سالمونلا تایفی موریوم (<i>Salmonella typhimurium</i>) PTCC1609	b10A	12 ^{dA}	14 ^{cA}	17 ^{bA}	18 ^{aA}	17 ^{bA}	14 ^{cA}	11.5 ^{dA}	9 ^{eA}	6 ^{fA}
	bS6	11.2 ^{dB}	13 ^{cB}	16 ^{bB}	18 ^{aB}	16 ^{bB}	13.2 ^{cB}	10.5 ^{dB}	9 ^{eB}	6 ^{fB}
	bSa	9.5 ^{dC}	11.5 ^{cC}	15 ^{bC}	16 ^{aC}	15 ^{bC}	13 ^{cC}	11 ^{dC}	8 ^{eC}	7 ^{fC}
	bAb	10 ^{dCD}	11.5 ^{cCD}	15 ^{bCD}	17 ^{aCD}	15.5 ^{bCD}	13 ^{cCD}	10 ^{dCD}	7 ^{eCD}	-
لیستریا مونوسایتوجنز (<i>Listeria monocytogenes</i>) PTCC1165	b10A	13 ^{dA}	15.5 ^{cA}	17 ^{bA}	19 ^{aA}	17.5 ^{bA}	14 ^{cA}	11.5 ^{dA}	9 ^{eA}	6 ^{fA}
	bS6	11 ^{dB}	13 ^{cB}	16 ^{bB}	18 ^{aB}	16 ^{bB}	14 ^{cB}	11 ^{dB}	9 ^{eB}	6 ^{fB}
	bSa	10 ^{dC}	11 ^{cC}	16.3 ^{bC}	19 ^{aC}	15 ^{bC}	12 ^{cC}	11 ^{dC}	8 ^{eC}	6 ^{fC}
	bAb	12 ^{dCD}	15 ^{cCD}	15 ^{bCD}	17 ^{aCD}	15 ^{bCD}	12 ^{cCD}	10 ^{dCD}	7 ^{eCD}	-
نایسین (Nisin)		12 ^{dD}	16 ^{cD}	17.5 ^{bD}	19 ^{aD}	17 ^{bD}	14 ^{cD}	10 ^{dD}	7 ^{eD}	-

b: باکتریوسین؛ 10A: *L. plantarum* strain 3360؛ V₃: *L. plantarum* strain Heal 19؛ S₆: *L. plantarum* strain 7232؛ Sa: *L. plantarum* strain lb51؛ Ab: *L. plantarum* strain Lan4.

نتایج به صورت میانگین سه تکرار بیان شد. اعداد با حروف مشترک در هر ستون دارای اختلاف معنی‌دار ($p < 0.05$) نمی‌باشند. اعداد با حروف مشترک در هر ردیف دارای اختلاف معنی‌دار ($p < 0.05$) نمی‌باشند.

b: bacteriocin; 10A: *L. plantarum* strain 3360; V₃: *L. plantarum* strain Heal 19; S₆: *L. plantarum* strain 7232; Sa: *L. plantarum* strain lb51; Ab: *L. plantarum* strain Lan4.

The results were expressed as the average of three repetitions. Numbers with same letters in each column do not have significant differences ($p > 0.05$). Numbers with same letters in each row do not have a significant difference ($p > 0.05$).

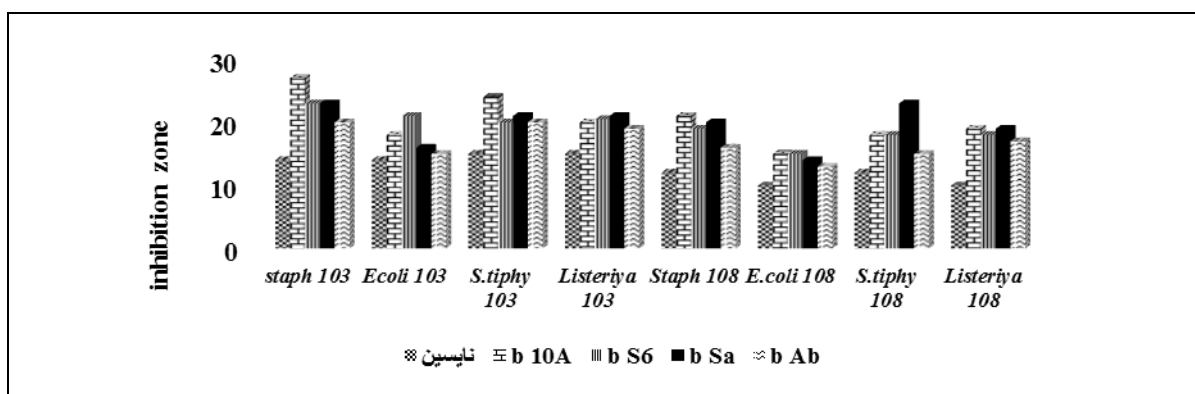
جدول ۱۰- MIC و MBC باکتریوسین‌های خالص شده و نایسین علیه شاخص‌های گرم مثبت و منفی
Table 10- MIC and MBC of purified bacteriocins and Nisin against Gram positive and Gram negative indicators

میکروارگانیسم شاخص (Indicator microorganisms) ۱۰ ^۶ CFU/mL	باکتریوسین (Bacteriocin)	غلظت (Concentration- ppm)		
		650	480	240
استافیلوکوکوس اورئوس (<i>Staphylococcus aureus</i>) ATCC25922	b10A	-	MIC	MBC
	bS6	MIC	MBC	-
	bSa	MIC	MBC	-
	bAb	-	MIC	MBC
	نایسین (Nisin)	MIC	MBC	-
اشریشیا کلی (<i>Escherichia coli</i>) ATCC25923	b10A	-	MIC	MBC
	bS6	MIC	MBC	-
	bSa	MIC	MBC	-
	bAb	-	MIC	MBC
	نایسین (Nisin)	MIC	MBC	-

b: باکتریوسین؛ 10A: لاکتی پلانتهی باسیلوس پلانتروم گونه ۳۳۶۰؛ V3: لاکتی پلانتهی باسیلوس پلانتروم گونه 19 Heal؛ S6: لاکتی پلانتهی باسیلوس پلانتروم گونه

۷۲۳۲؛ Ab: لاکتی پلانتهی باسیلوس پلانتروم گونه Lan4.

b: bacteriocin; 10A: *L. plantarum* strain 3360; V3 *L. plantarum* strain Heal 19; S6: *L. plantarum* strain 7232; Sa: *L. plantarum* strain lb51; Ab: *L. plantarum* strain Lan4.



شکل ۵- مقایسه اثر باکتریوسین‌های استخراج شده با نایسین تجاری در مهار سویه‌های شاخص در رقت ۱۰^۸ و ۱۰^۳

Fig. 6- Comparison of the effect of bacteriocins with commercial nisin in inhibiting the indicator strains in dilution 10³ and 10⁸

سویه‌های بیماری‌زا فعالیت باکتریوسین جدا شده از سویه ۳۳۶۰ (b10A) در مقایسه با سه باکتریوسین دیگر و حتی نایسین بیشتر گزارش شد. ویژگی بازدارندگی تمامی باکتریوسین‌های استحصال شده در رقت ۱۰^۸ CFU/mL بیماری‌زا نیز حفظ گردید. با توجه به منابع، بیشترین اندازه هاله بازدارنده از رشد برای نایسین، در برابر لیستریا مونوسیتوژنز هست که در مقایسه با نتایج این آزمایش ویژگی ضدلیستریایی نایسین را ثابت می‌کند. نتایج این آزمایش با مطالعات

مقایسه فعالیت باکتریوسین‌های استخراج شده با نایسین تجاری

با توجه به نتایج MIC (جدول ۱۰) و برگه راهنمای نایسین، محلول ۶۵۰ میلی‌گرم در اسیدکلریدریک ۰/۰۲ نرمال معادل AU/ml ۶۵۰ باعث توقف رشد بیماری‌زاهای در هر دو رقت ۱۰^۸ و ۱۰^۳ گردید، رقت‌های مساوی از باکتریوسین‌های استخراج شده و نایسین تهیه و بعد از انجام آزمون چاهک‌گذاری در محیط مولر هینتون آگار بزردهی شده با رقت‌های ۱۰^۳ و ۱۰^۸ از باکتری‌های شاخص از نظر ویژگی بازدارندگی مورد ارزیابی قرار گرفتند. با توجه به شکل ۵ در رقت پایین

گرم منفی مانند لیستریا مونو سائتوژنز، سالمونلا تایفی‌موریوم و اشریشیا کلی در رقت 10^8 دارای ویژگی بازدارندگی بودند و تحت تاثیر آنزیم‌های پیپسین و پروتئیناز K این ویژگی با کاهش فعالیت باکتریوسین از بین می‌رود. با توجه به اینکه تمامی باکتریوسین‌های تولید شده در این پژوهش به درجه حرارت‌های بالا تا دمای 121 درجه سانتی‌گراد (دمای اتوکلاو) مقاوم بودند، پایداری اثر مهاری در pH‌های اسیدی و قلیایی و همچنین پایداری حرارتی، ویژگی‌های مهمی برای باکتریوسین‌های خالص شده محسوب می‌شود چرا که استفاده از آن‌ها را به عنوان محافظ میکروبی فرآورده‌های غذایی و دارویی که در طی فرایند، نگهداری و بسته بندی آن‌ها از حرارت‌های بالا استفاده می‌شود، میسر می‌سازد. هر چهار باکتریوسین حاصل در مقایسه با نایسین تجاری شده (Niseen - S) که در صنعت غذا به عنوان نگهدارنده بیولوژیک کاربرد زیادی داشته است، در رقت 10^8 بیماری‌زاهای شاخص دارای فعالیت بازدارندگی و هاله عدم رشد بزرگتری بودند. بدنبال خالص‌سازی و جداسازی این پپتیدها، پژوهش در خصوص ریزپوشانی و استفاده از این عوامل در فرآورده‌های غذایی با محدوده pH اسیدی و قلیایی از جمله انواع آبمیوه‌ها، فرآورده‌های گوشتی و انواع سس‌ها، بصورت ریزپوشانی شده و آزاد ادامه دارد.

سپاسگزاری

از مرکز مطالعات و همکاری‌های بین‌المللی به دلیل حمایت مالی در انجام این پروژه قدردانی می‌گردد.

بنچ و همکاران (Benech et al., 2002) استفاده از نایسین Z برای متوقف کردن رشد لیستریا/ینوکوآ و نتایج پژوهش انجام شده توسط شگری و همکاران (Shokri et al., 2013) در مورد ویژگی آنتی لیستریایی پلانتراسین DSH2O و مطالعات آشاری و همکاران (Ashari et al., 2019) بررسی حداقل مقدار کشندگی نایسین و همخوانی نزدیکی دارد. بالا بودن ویژگی ضد میکروبی باکتریوسین‌های استخراج شده در این آزمون در مقایسه با مقدار یکسان نایسین تجاری با باکتریوسین‌های استخراج شده از سویه‌های مختلف، نشان دهنده قدرت و فعالیت بالای آن‌ها در مقایسه با نایسین در مهار بیماری‌زا است (شکل ۵).

نتیجه‌گیری

امروزه بحث‌هایی در مورد کاربرد مواد ضد میکروبی بیولوژیک در سیستم‌های غذایی به‌عنوان محافظ، در مقابل بیماری‌زاهای بیماری‌زا و عامل فساد وجود دارد که طی آن بر جست و جوی مواد و تکنولوژی‌های نوین برای نگهداری غذا و افزایش زمان ماندگاری آن‌ها بدون کاربرد مواد شیمیایی سنتزی در صنعت غذا تاکید شده است. در این میان باکتریوسین‌ها به دلیل ویژگی‌های مطلوب، ماهیت پروتئینی، عدم سمیت، قابلیت هضم بالا در برابر آنزیم‌های گوارشی و داشتن خصوصیت ضد میکروبی مهم تلقی شده‌اند. یافته‌های این پژوهش نشان داد باکتریوسین تمامی سویه‌های لاکتی پلانتهی باسیلوس پلانتراروم علاوه بر باکتری‌های گرم مثبت بر باکتری‌های

منابع

1. Abdollahzadeh, A., Rezaei, M., Hosseini, H., & Safari, R., (2012). The effect of nisin and thyme essential oil of Shirazi thyme alone and in combination on the population of *Listeria monocytogenes* inoculated in the minced meat of phytophagous fish. *Iranian Journal of Food Science*, 4, 13-20.
2. Ahn, H., Kim, J., & Kim, W.J. (2017). Isolation and characterization of bacteriocin-producing *Pediococcus acidilactici* HW01 from malt and its potential to control beer spoilage lactic acid bacteria. *Food Control*, 80, 59-66. <https://doi.org/10.1016/j.foodcont.2017.04.022>.
3. Alirezalu, K., Hesari, J., Besharti, M., Yaghoubi, M., Nemati, Z., & Malayeri, H. (2020). Investigation the effects of nisin and nisin nanoparticles on physicochemical, microbial, sensory and shelf life of Frankfurter sausages. *Research and Innovation in Food Science and Technology*, 9, 221-236. <https://doi.org/10.22101/JRIFST.2020.195438.1108>.
4. Alizadeh Behbahani, B., Noshad, M., & Joyandeh, H. (2021). Evaluation of activity and characterization of bacteriocin produced by lactobacilli bacteria isolated from local yogurt in Behbahan city. *Iranian Journal of Nutrition Sciences and Food Industry*, 16(2), 111-120. <https://doi.org/10.52547/nsft.16.2.111>
5. Alizadeh, P., Jamalifar, H., Samadi, N., Eidi, A., & Fazeli, M. (2010). The effect of NaCl on the growth and antimicrobial properties of Lactobacillus isolated from sourdough of traditional breads in Markazi province. *Iranian Journal of Nutrition Sciences and Food Industry*, 5(3), 47-56.
6. Ashari, D., Nissa, A., Nursiwi, A., Sari, A., & Utami, R. (2019). Antimicrobial effect of *Zingiber officinale* var. *officinale* essential oil and nisin against pathogenic and spoilage microorganisms. Paper presented at the IOP Conference Series: *Materials Science and Engineering*. <https://doi.org/10.1088/1757-899X/633/1/012005>.
7. Ashtiani, S.H.M., Rafiee, M., Morad, M.M., Khojastehpour, M., Khani, M.R., Rohani, A., Shokri, B., & Martynenko, A. (2020). Impact of gliding arc plasma pretreatment on drying efficiency and physicochemical

- properties of grape. *Innovative Food Science & Emerging Technologies*, 63, 102381. <https://doi.org/10.1016/j.ifset.2020.102381>.
8. Attar, M.A., Yavarmanesh, M., Mortazavi, A., Dovom, M.R.E., & Najafi, M.B.H. (2018). Antibacterial effects of *Lactococcus lactis* isolated from Lighvan cheese regarding the recognition of Nisin, Lacticin and Lactococcal structural genes. *LWT-Journal of Food Science and Technology*, 89, 186-191. <https://doi.org/10.1016/j.lwt.2017.10.044>.
 9. Benech, R.O., Kheadr E.E., Laridi R., Lacroix C., & Fliss I. (2002). Inhibition of listeria innocua in Cheddar cheese by addition of Nisin Z in Liposomes or by in situ production in mixed culture. *Applied and Environmental Microbiology*, 68(8), 3683-3690. <https://doi.org/10.1128/AEM.68.8.3683-3690.2002>.
 10. Blana, V.A., Grounta, A., Tassou, C.C., Nychas, G.J.E., & Panagou, E.Z. (2014). Inoculated fermentation of green olives with potential probiotic *Lactobacillus pentosus* and *Lactobacillus plantarum* starter cultures isolated from industrially fermented olives. *Food Microbiology*, 38, 208-218. <https://doi.org/10.1016/j.fm.2013.09.007>.
 11. Calo-Mata, P., Arlindo, S., Boehme, K., de Miguel, T., Pascoal, A., & Barros-Velazquez, J. (2008). Current applications and future trends of lactic acid bacteria and their bacteriocins for the biopreservation of aquatic food products. *Food and Bioprocess Technology*, 1, 43-63. <https://doi.org/10.1007/s11947-007-0021-2>.
 12. Chen, L., Gu, Q., Li, P., Li, Y., Song, D., & Yang, J. (2018). Purification and characterization of plantaricin ZJ316, a novel bacteriocin against *listeria monocytogenes* from *lactobacillus plantarum* ZJ316. *Journal of Food Protection*, 81, 1929-1935. <https://doi.org/10.4315/0362-028X.JFP-18-306>.
 13. Cotter, P.D., Stanton, C., Ross, R.P., & Hill, C. (2012). The impact of antibiotics on the gut microbiota as revealed by high throughput DNA sequencing. *Discovery Medicine*, 13, 193-199.
 14. Ebrahimi, Z., Ismaili, A., Ahmadi, T.A., Emami, H., & Rabbani, M. (2016). Isolation and molecular identification of *Lactobacillus brevis* from native vinegar. *Biology of Microorganisms*, 5, 95-106. <https://doi.org/10.22108/bjm.2016.20386>.
 15. El-Shouny, W., Abo-Kamar, A., El-Shanshoury, A.E.R., & Ragy, S. (2020). Production of plantaricin by *Lactobacillus plantarum* SR18. *Journal of Microbiology, Biotechnology and Food Sciences*, 9, 1488-1504.
 16. Fagundes, C., Sousa Santos, N., Albano, M., & Bastos, F. (2017). Genetic and biochemical characterization of hyicin 3682, the first bacteriocin reported for *Staphylococcus hyicus*. *Microbiological Research*, 198, 36-46. <https://doi.org/10.1016/j.micres.2017.02.003>.
 17. Ferchichi, M., Valcheva, R., Prévost, H., Onno, B., & Dousset, X. (2007). Molecular identification of the microbiota of French sourdough using temporal temperature gradient gel electrophoresis. *Food Microbiology*, 24, 678-686. <https://doi.org/10.1016/j.fm.2007.04.001>
 18. Garriga, M., Hugas, M., Aymerich, T., & Monfort, J. (1993). Bacteriocinogenic activity of lactobacilli from fermented sausages. *Journal of Applied Bacteriology*, 75, 142-148. <https://doi.org/10.1111/j.1365-2672.1993.tb02759.x>.
 19. Gonzalez, B., Arca, P., Mayo, B., & Suárez, J.E. (1994). Detection, purification, and partial characterization of plantaricin C, a bacteriocin produced by a *Lactobacillus plantarum* strain of dairy origin. *Applied and Environmental Microbiology*, 60, 2158-2163. <https://doi.org/10.1128/aem.60.6.2158-2163.1994>
 20. Grosu-Tudor, S.S., & Zamfir, M. (2011). Isolation and characterization of lactic acid bacteria from Romanian fermented vegetables. *Romanian Biotechnological Letters*, 16, 148-154.
 21. Hosseininezhad, M., & Yazdi, M. (2016). Bacteriocins: Natural, safe, bio-preservatives and viable alternatives to chemical additives. *Journal of Biosafety*, 9, 49-59. <https://doi.org/20.1001.1.27170632.1395.9.2.8.2>
 22. Hu, M., Zha, H., Chong Zhang, C., Jiansheng, Yu, J., & Lu, Z. (2013). Purification and characterization of plantaricin 163, a novel bacteriocin produced by *Lactobacillus plantarum* 163 isolated from traditional Chinese fermented vegetables. *Journal of Agricultural and Food Chemistry*, 61, 11676-11682. <https://doi.org/10.1021/jf403370y>.
 23. Hwanhlem, N., Ivanova, T., Biscola, V., Choiset, Y., & Haertle, T. (2017). Bacteriocin producing *Enterococcus faecalis* isolated from chicken gastrointestinal tract originating from Phitsanulok, Thailand: Isolation, screening, safety evaluation and probiotic properties. *Food Control*, 78, 187-195. <https://doi.org/10.1016/j.foodcont.2017.02.060>.
 24. Jiménez-Díaz, R., Rios-Sanchez, R., Desmazeaud, M., Ruiz-Barba, J.L., & Piard, J.C. (1993). Plantaricins S and T, two new bacteriocins produced by *Lactobacillus plantarum* LPCO10 isolated from a green olive fermentation. *Applied and Environmental Microbiology*, 59, 1416-1424. <https://doi.org/10.1128/aem.59.5.1416-1424.1993>.
 25. Kazemipoor, M., Radzi, C.W.J.W.M., Begum, K., & Yaze, I. (2012). Screening of antibacterial activity of lactic acid bacteria isolated from fermented vegetables against food borne pathogens. *ArXiv Preprint ArXiv*, 1206-6366. <https://doi.org/10.1089/fpd.2009.0272>.

26. Kelly, W., Asmundson, R., & Huang, C. (1996). Characterization of plantaricin KW30, a bacteriocin produced by *Lactobacillus plantarum*. *Journal of Applied Bacteriology*, 81, 657-662. <https://doi.org/10.1111/j.1365-2672.1996.tb03561.x>.
27. Kumari, K., Sharma, S., & Kaundal, K. (2018). Production, purification and efficacy of bacteriocin isolated from natural lactic acid fermentation of wild Himalayan fig fruit. *Journal of Pure and Applied Microbiology*, 12, 879-885. <https://dx.doi.org/10.22207/JPAM.12.2.50>
28. Miraei Ashtiani, S.H., Aghkhani, M.H., Feizy, J., & Martynenko, A. (2023). Effect of cold plasma pretreatment coupled with osmotic dehydration on drying kinetics and quality of mushroom (*Agaricus bisporus*). *Food and Bioprocess Technology*, 1-23. <https://doi.org/10.1007/s11947-023-03096-z>.
29. Miraei Ashtiani, S.H., Rafiee, M., Mohebi Morad, M., & Martynenko, A. (2022). Cold plasma pretreatment improves the quality and nutritional value of ultrasound-assisted convective drying: The case of goldenberry. *Drying Technology*, 40(8), 1639-1657. <https://doi.org/10.1080/07373937.2022.2050255>.
30. Navarro, L., Zarazaga, M., Aenz, J., Ruiz-Larrea, F., & Torres, C. (2000). Bacteriocin production by lactic acid bacteria isolated from Rioja red wines. *Journal of Applied Microbiology*, 88, 44-51. <https://doi.org/10.1046/j.1365-2672.2000.00865.x>.
31. Noktehsanj Avval, M., Hosseini-zhad, M., Pahlavanlo, A., & Ghoddusi, H.B. (2023). Creating optimal conditions for bacteriocin production from *Lactiplantibacillus plantarum* isolated from traditionally fermented fruits and vegetables. *Research and Innovation in Food Science and Technology*, 11(4), 351-366. <https://doi.org/10.22101/JRIFST.2022.331749.1332>.
32. Persulesy, C.B., Kusdiyantini, E., Ferniah, R.S., Agustini, T.W., & Budiharjo, A. (2020). Ina sua: The traditional Food Fermentation from Teon Nila Serua, Central of Maluku, Indonesia. *Journal of Ethnic Foods*, 7(1), 1-7. <https://doi.org/10.1186/s42779-020-00055-3>.
33. Rodríguez, E., Arqués, J.L., Rodríguez, R., Peiroten, Á., Landete, J.M., & Medina, M. (2012). Antimicrobial properties of probiotic strains isolated from breast-fed infants. *Journal of Functional Foods*, 4, 542-551. <https://doi.org/10.1016/j.jff.2012.02.015>.
34. Schliep, K.P. (2011). phangorn: phylogenetic analysis in R. *Bioinformatics*, 27, 592-593. <https://doi.org/10.1093/bioinformatics/btq706>
35. Shahidi, F., Heydari, Sh., & Shahidi, M. (2014). *Production of oral antimicrobial film to inhibit Listeria monocytogenes in meat*. Paper presented at the 3rd National Conference on Food Science and Technology Quchan.
36. Shokri, D., Zaghian, S., Fazeli, H., Mobasherizadeh, S., & Ataei, B. (2013). Isolation and Purification of an Ultraviolet-Stable Bacteriocin Produced by Enterococcus Faecium Strain DSH20 against *Listeria monocytogenes*. *Journal of Isfahan Medical School*, 31, 236-242. http://jims.mui.ac.ir/article_14071_20f000224d7a9652dfd89c1d4f6fb8df.pdf
37. Singh, S., & Sethi, S. (2018). *Fermentation Technology in Vegetables Advances in Postharvest Technologies of Vegetable*, Apple Academic Press, 355-379. <https://doi.org/10.1201/9781315161020>
38. Szutowska, J., & Gwiazdowska, D. (2021). Probiotic potential of lactic acid bacteria obtained from fermented curly kale juice. *Archives of Microbiology*, 203, 975-988. <https://doi.org/10.1007/s00203-020-02095-4>.
39. Tafvizi, F., & Tajabadi Ebrahimi, M. (2012). DNA Fingerprinting Based on Repetitive Sequences of Iranian Indigenous Lactobacilli Species by (GTG)₅-REP-PCR. *Journal of Fasa University of Medical Sciences*, 2, 218-226. <http://dorl.net/dor/20.1001.1.22285105.2012.2.3.14.2>
40. Thomas, L., & Delves-Broughton, J. (2005). *Nisin. Antimicrobials in Food*. Davidson PM, Sofos JN and Branen AL New York, NY: CRC Press. <https://doi.org/10.1201/9781420028737>
41. Tiwari, S. K., & Srivastava, S. (2008). Purification and characterization of plantaricin LR14: a novel bacteriocin produced by *Lactobacillus plantarum* LR/14. *Applied Microbiology and Biotechnology*, 79, 759-767. <https://doi.org/10.1007/s00253-008-1482-6>
42. Todorov, S., Onno, B., Sorokine, O., Chobert, J., Ivanova, I., & Dousset, X. (1999). Detection and characterization of a novel antibacterial substance produced by *Lactobacillus plantarum* ST 31 isolated from sourdough. *International Journal of Food Microbiology*, 48, 167-177. [https://doi.org/10.1016/S0168-1605\(99\)00048-3](https://doi.org/10.1016/S0168-1605(99)00048-3).
43. Udhayashree, N., Senbagam, D., Senthilkumar, B., Nithya, K., & Gurusamy, R. (2012). Production of bacteriocin and their application in food products. *Asian Pacific Journal of Tropical Biomedicine*, 2, S406-S410. [https://doi.org/10.1016/S2221-1691\(12\)60197-X](https://doi.org/10.1016/S2221-1691(12)60197-X).
44. Xiang, Y.Z., Li, X.Y., Zheng, H.L., Chen, J.Y., Lin, L.B., & Zhang, Q.L. (2021). Purification and antibacterial properties of a novel bacteriocin against *Escherichia coli* from *Bacillus subtilis* isolated from blueberry ferments. *LWT-Journal of Food Science and Technology*, 146, 111456. <https://doi.org/10.1016/j.lwt.2021.111456>.

45. Zheng, J., Wittouck, S., Salvetti, E., Franz, C. M., Harris, H., Mattarelli, P., & Lebeer, S. (2020). A taxonomic note on the genus *Lactobacillus*: Description of 23 novel genera, emended description of the genus *Lactobacillus* Beijerinck 1901, and union of Lactobacillaceae and Leuconostocaceae. *International Journal of Systematic and Evolutionary Microbiology*, 70(4), 2782-2858. <https://doi.org/10.1099/ijsem.0.004107>.